

SKRIPSI

PENGARUH INTENSITAS CURAH HUJAN TERHADAP LIMPASAN
PERMUKAAN DAN KOEFISIEN LIMPASAN PADA VARIASI TUTUPAN
LAHAN MENGGUNAKAN ALAT RAINFALL SIMULATOR



WARDATUL MAWARSI
10581 2133 14

SITTIR. A. NAHUMARURY
10581 2136 14

09/12/2020

PROGRAM STUDI TEKNIK PENGAIRAN *Fakultas Teknik*

FAKULTAS TEKNIK

B.070/51P/2020
MMW

UNIVERSITAS MUHAMMADIYAH MAKASSAR

2020

PENGARUH INTENSITAS CURAH HUJAN TERHADAP LIMPASAN
PERMUKAAN DAN KOEFISIEN LIMPASAN PADA VARIASI TUTUPAN
LAHAN MENGGUNAKAN ALAT RAINFALL SIMULATOR



PROGRAM STUDI TEKNIK PENGAIRAN
FAKULTAS TEKNIK
UNIVERSITAS MUHAMMADIYAH MAKASSAR

2020



UNIVERSITAS MUHAMMADIYAH MAKASSAR

FAKULTAS TEKNIK

GEDUNG MENARA IQRA LT. 3

Jl. Sultan Abdurrahman No. 222 Telp. (0411) 626 972 Fax. (0411) 605 518 Makassar 90231
Website : www.unimak.ac.id Email : petugas@unimak.ac.id
Nim : <http://bantuan.unimak.ac.id>

HALAMAN PENGESAHAN

Tugas Akhir ini diajukan untuk memenuhi syarat ujian guna memperoleh gelar Sarjana Teknik (ST) Program Studi Teknik Pengairan Jurusan Teknik Sipil Fakultas Teknik Universitas Muhammadiyah Makassar.

Judul Skripsi : **PENGARUH INTENSITAS CURAH HUJAN TERHADAP LIMPASAN PERMUKAAN DAN KOFISIEN LIMPASAN PADA VARIASI TUTUPAN LAHAN MENGGUNAKAN ALAT RAINFALL SIMULATOR**

Nama : WARDATUL MAWARNI AMSAR
SITI RODHIYAH AULIA NAHUMARURY

Stambuk : 105.81.2133.13
105.81.2135.14

Makassar, 03 Desember 2020

Telah Diperiksa dan Disetujui
Oleh Dosen Pembimbing

Pembimbing I

Pembimbing II

Dr. Eng. Ir. H. Farouk Maricar, MT

Amrullah Mansida, ST., MT., IPM

Mengetahui:

Ketua Prodi-Teknik Pengairan

Andi Makbul Syamsuri, ST., MT.

NBM : 1183 084

FAKULTAS TEKNIK

GEDUNG MENARA IQRA LT. 3

Jl. Sultan Alauddin No. 259 Telp: (0411) 865 972 Fax: (0411) 865 518 Nama Kantor: 50221
 Website : www.unimak.ac.id, e-mail : sefakultas@unimak.ac.id
 Webkam : <http://sefak.unimakmu.muhassar.ac.id>

PENGESAHAN

Skripsi atas nama Wardatul Mawami Amsar dengan nomor induk Mahasiswa 105 81 2133 14 dan Siti Rodhiyah Aulia Nahumarury dengan nomor induk Mahasiswa 105 81 2136 14, dinyatakan diterima dan disahkan oleh Panitia Ujian Tugas Akhir Skripsi, sesuai dengan Surat Keputusan Dekan Fakultas Teknik Universitas Muhammadiyah Makassar Nomor : 0010/SK-Y/22201/091004/2020, sebagai salah satu syarat guna memperoleh gelar Sarjana Teknik pada Program Studi Teknik Pengairan Jurusan Teknik Sipil Fakultas Teknik Universitas Muhammadiyah Makassar pada hari Sabtu tanggal 28 November 2020.

18 Rabu Awal 1442 H

4 Desember 2020 M

Panitia Ujian**1. Pengawas Umum**

a. Rektor Universitas Muhammadiyah Makassar

Prof. Dr. H. Ambo Atsse, M.Aq.

b. Dekan Fakultas Teknik Universitas Hasyimuddin

Prof. Dr. Ir. H. Muhammad Arsyad Triaha, MT.

2. Pengaji

a. Ketua : Dr. Ir. Hj. Sumantri M. Antaria, M.Sc.

b. Sekertaris : Farida Gaffar, ST., MM.

3. Anggota: 1. Dr. Hj. Arsyun Ali Mustan, ST., MT.

2. Dr. Ir. H. Riswali K. MT.

3. Ir. Andi Rahmat, MT.

Mengetahui :

Pembimbing I

Dr. Eng. Ir. H. Farouk Maricar, MT.

Pembimbing II

Amrullah Mansida, ST., MT., IPM

PENGARUH INTENSITAS CURAH HUJAN TERHADAP LIMPASAN PERMUKAAN DAN KOEFISIEN LIMPASAN PADA VARIASI TUTUPAN LAHAN MENGGUNAKAN ALAT RAINFALL SIMULATOR

Wardatul Mawarni A.¹, Sitti R. A. Nahumurury¹, Farouk Maricar²,
Amrallah Mansida²

¹Doktoranda Program Studi Teknik Perairan Fakultas Teknik Universitas Muhammadiyah Makassar

²Dosen Departemen Sipil Fakultas Teknik Universitas Hasanuddin

¹Dosen Program Studi Teknik Pengolahan Fakultas Teknik Universitas Muhammadiyah Makassar

Teknik Pengolahan: FAKULTAS TEKNIK UNIVERSITAS MUHAMMADIYAH MAKASSAR

Jl. Sultan Maulana No.239, Makassar 90231, Indonesia

e-mail : wardatulmawarni28@gmail.com , sittirahmahurury@gmail.com

ABSTRAK

Intensitas curah hujan yang besar akan lebih sulit menyerapkan pengembangan kapasitas infiltrasi secara kinetik. Hal ini disebabkan karena adanya pemakaian permukaan tanah yang terjadi karena puluhan mm-hari hujan, penyempitan (raveling), dan percampuran pasir-pasir dengan partikel-partikel besar yang berada masuk bersama debu air hujan. Kondisi tersebut akan mempengaruhi kondisi limpasan permukaan tanah. It terjadi bahwa limpasan akhirnya meningkat dan terjadi banjir yang dapat mengakibatkan aliran sungai (DAS) dimulai sekarangnya. Penelitian ini bertujuan untuk melihat pengaruh intensitas curah hujan terhadap limpasan permukaan dan koefisien limpasan pada berbagai jenis tutupan lahan. Pengamatan pada limpa air permukaan dilakukan dengan menggunakan alat rainfall simulator dengan menggunakan metode curah hujan pada tanah dengan variasi vegetasi. Hasil analisa metropotok rats Fluctus 1, 287,691 mm/jam, tanah tanpa vegetasi meningkatkan jumlah limpasan lebih tinggi dibanding tanah dengan vegetasi. Pada intensitas 1, 343,204 mm/jam, terjadi peningkatan jumlah limpasan yang signifikan pada tiap variasi vegetasi dimana jumlah limpasan tertinggi dihasilkan pada tanah tanpa vegetasi. Rata-rata koefisien limpasan tertinggi di tiap intensitas dihasilkan pada tanah tanpa vegetasi. Hasil penelitian menunjukkan bahwa intensitas curah hujan (I) berbanding lurus dengan besarnya limpasan permukaan (Q) dan koefisien limpasan (C).

Kata kunci: Intensitas, limpasan, koefisien, tutupan lahan

ABSTRACT

The intensity of large or heavy rainfall will cause a constant reduction in infiltration capacity. The reduction is caused by soil surface compaction that occurs due to raindrop hit, soil swelling, and clogging of soil pores by small particles that carried along with rainwater. This condition will affect the condition of surface runoff when it rains, surface runoff will increase and there will be flooding which can break watershed and the surrounding area. The purpose of this research was to observe the effect of rainfall intensity on surface runoff and runoff coefficient under varying land cover conditions. The surface runoff was observed using rainfall simulator by applying rainfall intensity to the soil with vegetation variations. The analysis results showed that as rain intensity of $I_1 = 287.63 \text{ mm hour}^{-1}$, no. without vegetation produced a higher amount of runoff than soil with vegetation (5 mm hour^{-1}). At $I_2 = 204 \text{ mm hour}^{-1}$, there was a significant decrease in the amount of runoff in each vegetation from soil without vegetation of 22% . It was generated on soil without vegetation. The high of average of runoff coefficient in each intensity with generated soil and without vegetation. The results of this research showed that rainfall intensity is directly proportional to the amount of surface runoff (Q) and runoff coefficient (R).

Keywords: Intensity, runoff, coefficient, land cover

KATA PENGANTAR

Syukur Alhamdulillah penulis pujiabu atas kehadiran Allah SWT..

ketara rahmat dan hidayah-Nya. Sehingga penulis dapat menyusun tugas akhir ini, dan dapat kami seleksikan dengan baik.

Tugas akhir ini diambil sebagai salah satu penyelesaian akademik yang harus diambil dalam rangka menyelesaikan program studi Dosen Jurusan Sipil Pengajian Teknik Universitas Muhammadiyah Makassar. Judul tugas akhir tugas akhir kami adalah: Pengaruh Intensitas Cahaya Hujan Terhadap Limpaan Permukaan dan Koflikten Limpaan pada Variasi Tantangan Lahan Menggunakan Alat Rangka Nitroba.

Penulis menyadari sepelemanya bahwa dalam penulisan tesis/tugas akhir ini masih terdapat kekurangan, hal ini disadari karena penulis sebagai manusia biasa tidak lepas dari kovalitan dan kekurangan. Baik itu ditinjau dari segi teknis penulisan maupun dari perbaikan. Oleh karena itu, penulis menerima dengan sangat ikhlas dan dengan senang hati segala koreksi serta perbaikan guna perbaikan tulusan ini agar kefak dapat bermanfaat.

Tugas akhir ini dapat terwujud berkat adanya bantuan, arahan dan himbingan dari berbagai pihak. Oleh karena itu, dengan segala ketulusan dan kerendahan hati, kami mengucapkan terimakasih dan penghargaan yang setinggi-tingginya kepada:

1. Bapak Prof. Dr. H. Ambo Asse, M.Aq., sebagai Rektor Universitas Muhammadiyah Makassar.

- 
2. Bapak Ir. Hamzah Ali Iman, S.T., M.T. IPM sebagai Dekan Fakultas Teknik Universitas Muhammadiyah Makassar.
 3. Bapak Andi Makbul Syamsuri, S.T., M.T. IPM sebagai Ketua Jurusan Teknik Sipil Pengajar Fakultas Teknik Universitas Muhammadiyah Makassar.
 4. Bapak Dr. Eng. Ir. H Farouk Miniat, M.T. selaku Pembimbing I dan Bapak Amrullah Mansida, S.T., M.T. IPM selaku Pembimbing II, yang banyak memberikan waktu dalam membimbing kami.
 5. Bapak dan Ibu dosen-desa para staf pengajar di Fakultas Teknik atau segera waktunya telah berusaha dan meluangkan penulus selama membuat jenjang belajar memperbarui di Universitas Muhammadiyah Makassar.
 6. Ayahanda dan Ibuanda, dan juga saudara serta saudari penulis yang selalu memberikan dorongan materi dan moril bagi penulis selagi merumuskan skripsi.
 7. Rekan-rekan mahasiswa Fakultas Teknik semester angkatan V EKTOR 2014 yang dengan persaudarannya banyak membantu dalam menyusunkan skripsi ini.
 8. Teman-teman penulis, dimanapun berada di seluruh penjuru Indonesia.

Semoga semua pihak tersebut di atas mendapat pahala yang berlipat ganda di sisi Allah SWT dan tugas akhir yang sederhana ini dapat bermanfaat bagi penulis, rekan-rekan, masyarakat serta bangsa dan Negara. Amin.

“Bilahi Fii Sabill Haq Fastabiqul Khairat”.

Makassar, 2020

Penulis

DAFTAR ISI

HALAMAN SAMPUL	1
HALAMAN JUDUL	ii
HALAMAN PENGESAHAN	iii
HALAMAN PENGESAHAN KOMISI PENGUJI	iv
ABSTRAK	v
ABSTRACT	vi
KATA PENGANTAR	vii
DAFTAR ISI	ix
DAFTAR GAMBAR	xiii
DAFTAR TABEL	xv
DAFTAR NOTASI	xvi
BAB I PENDAHULUAN	1
A. Latar Belakang	1
B. Rumusan Masalah	3
C. Tujuan Penelitian	3
D. Manfaat Penelitian	3
E. Batasan Masalah	4
F. Sistematika Penulisan	4
BAB II TINJAUAN PUSTAKA	6
A. Tipean Lubuk dan Vegetasi	6
B. Intensitas Curah Hujan	7
C. Limpasan Permukaan (<i>Rain-Off</i>)	9

1. Faktor-faktor yang Mempengaruhi Limpasan Permukaan	19
2. Proses Terjadinya Airan Permukaan	12
3. Hubungan Curah Hujan Dengan Limpasan	13
4. Pengukuran Debit Limpasan Permukaan	14
5. Perhitungan Debit Limpasan Permukaan	15
D. Koefisien Limpasan	16
E. <i>Ruqyah Sembuhan</i>	17
BAB III: METODE PENELITIAN	19
A. Lokasi dan Waktu Penelitian	19
1. Lokasi Penelitian	19
2. Waktu Penelitian	19
B. Bahan dan Alat	19
1. Bahan	19
2. Alat	20
C. Jenis Penelitian dan Sumber Data	22
1. Jenis Penelitian	22
2. Sumber Data	23
D. Prosedur Penelitian	23
1. Tahapan Persiapan	23
2. Tahapan <i>Running Test</i>	25
3. Dua dan Variabel Penelitian	26
E. Analisis Data	27
1. Analisa Data Awal	27

2. Analisa Data Akhir	27
F. Bagian dan Alur Penelitian	28
BAB IV HASIL DAN PEMBAHASAN	29
A. Analisa Intensitas Curah Hujan Masa de Monsoone	29
B. Debit Limpasan pada Zunning Test 1 Tanpa Vegetasi	30
C. Debit Limpasan <i>Zunning Test 2</i> dengan Vegetasi Manis	38
D. Debit Limpasan <i>Zunning Test 3</i> dengan Vegetasi bambu	46
E. Pengaruh Intensitas Curah Hujan Terhadap Limpasan Percolasi	56
F. Pengaruh Intensitas Curah Hujan Terhadap Koeffisien Limpasan	59
BAB V KESIMPULAN DAN SARAN	62
A. Kesimpulan	62
B. Saran	62
DAFTAR PUSTAKA	64
LAMPIRAN	
DOKUMENTASI	

DAFTAR GAMBAR

Gambar 1. <i>Rainfall simulator</i>	21
Gambar 2. Tampak samping keadaan tanah dalam hak percobahan	24
Gambar 3. Tampak atas keadaan posisi vegetasi bambu	25
Gambar 4. Tampak atas keadaan posisi vegetasi mangga	25
Gambar 5. Hubungan intensitas dan jumlah limpasan pada <i>rainfall simulator test 1</i> tanpa vegetasi	31
Gambar 6. Hubungan intensitas dan koefisien limpasan pada <i>rainfall simulator test 1</i> tanpa vegetasi	32
Gambar 7. Hubungan jalinan antara debit limpasan metode Rational <i>rainfall simulator test 1</i> tanpa vegetasi	36
Gambar 8. Jumlah debit limpasan intensitas 12 dan 15 dengan cara <i>rainfall simulator</i> dan metode Rational pada <i>rainfall simulator test 1 tanpa vegetasi</i>	37
Gambar 9. Hubungan intensitas dan debit limpasan pada <i>rainfall simulator test 2</i> vegetasi mangga	39
Gambar 10. Hubungan intensitas dan koefisien limpasan pada <i>running test 2</i> vegetasi mangga	41
Gambar 11. Hubungan intensitas dan debit limpasan metode Rational <i>running test 2</i> vegetasi mangga	44
Gambar 12. Jumlah debit limpasan intensitas 12 dan 15 dengan <i>rainfall simulator</i> dan metode Rational pada <i>running test 2</i> vegetasi mangga	46
Gambar 13. Hubungan intensitas dan debit limpasan <i>rainfall simulator</i> <i>running</i>	

test 3 vegetasi bambu	48
Gambar 14. Hubungan intensitas dan koefisien limpasan pada running test 3 vegetasi bambu	50
Gambar 15. Hubungan intensitas dan debit limpasan metode Rasioal running test 3 vegetasi bambu	53
Gambar 16. Jumlah debit limpasan hasil test 15 dan 15 dengan model simulator dan metode Rasioal pada running test 3 vegetasi bambu	54
Gambar 17. Hubungan faktor dan debit limpasan pada hasil running test 3 dan hasil metode Rasioal	55
Gambar 18. Hubungan intensitas dan debit limpasan pada variasi vegetasi hasil running test 3 dengan simulator dan metode Rasioal	56
Gambar 19. Hubungan variasi vegetasi dan debit limpasan pada map intensitas	57
Gambar 20. Hubungan intensitas dan koefisien limpasan pada variasi vegetasi	59
Gambar 21. Hubungan vegetasi dan koefisien limpasan pada map intensitas	60

DAFTAR TABEL

Tabel 1. Klasifikasi Intensitas Hujan	8
Tabel 2. Standar Intensitas Hujan	18
Tabel 3. Keterangan frisk vegetasi mangga	20
Tabel 4. Keterangan frisk vegetasi bambu	20
Tabel 5. Standar intensitas hujan	20
Tabel 6. Rekapitulasi hasil perhitungan hujan dengan hujan	20
Tabel 7. Debit limpasan dengan rumus <i>rainfall simulator test</i> 1 tanpa vegetasi	30
Tabel 8. Koefisien impasian pada rumus <i>rainfall simulator test</i> 1 tanpa vegetasi	32
Tabel 9. Debit limpasan dengan metode Rasional untuk intensitas 12	34
Tabel 10. Debit limpasan dengan metode Rasional untuk intensitas 15	35
Tabel 11. Debit limpasan intensitas 12 dan 15 dengan <i>rainfall simulator test</i> metode Rasional pada rumus <i>rainfall simulator test</i> 1 tanpa vegetasi	36
Tabel 12. Debit limpasan dengan rumus <i>rainfall simulator test</i> 2 vegetasi mangga	38
Tabel 13. Koefisien Impasian pada rumus <i>rainfall simulator test</i> 2 vegetasi mangga	40
Tabel 14. Debit limpasan dengan metode Rasional untuk intensitas 12 vegetasi mangga	41
Tabel 15. Debit limpasan dengan metode Rasional untuk intensitas 15 vegetasi mangga	43
Tabel 16. Debit limpasan intensitas 12 dari 15 dengan <i>rainfall simulator test</i> metode Rasional pada <i>running test</i> 2 vegetasi mangga	44

Tabel 17. Debit limpasan dengan <i>rainfall simulator runoff test</i> 3 vegetasi bambu	46
Tabel 18. Koefisien limpasan pada <i>runoff test</i> 3 vegetasi bambu	48
Tabel 19. Debit limpasan dengan metode Ressamal untuk intensitas 12 vegetasi bambu	50
Tabel 20. Debit limpasan dengan metode Ressamal (runoff intensity 15 vegetasi bambu)	51
Tabel 21. Debit limpasan intensitas 12 dan 15 dengan menggunakan metode Ressamal pada <i>runoff test</i> 3 vegetasi bambu	47
Tabel 22. Jumlah debit limpasan yang dibutuhkan bagi intensitas tunda bambu vegetasi	56
Tabel 23. Koefisien limpasan yang dibutuhkan bagi intensitas pada vegetasi vegetasi	54

DAFTAR NOTASI

- I = Intensitas curah hujan
- R_{2s} = Curah hujan rata-rata dalam suatu periode ulang yang nilainya didapat dari tahapan sebelumnya (tahapan analisis frekuensi)
- J = Lamanya curah hujan / durasi curah hujan
- P = curah hujan:
- f_t = kapasitas infiltrasi
- dlt = definisi lengkap tanah
- Q = Debit bahan jauh
- V = Volume limpasan
- C = Koefisien limpasan
- A = Luas area
- I₂ = Intensitas curah hujan periode ulang 2 tahun
- I₅ = Intensitas curah hujan periode ulang 5 tahun
- Intensitas n = Intensitas curah hujan periode ulang n tahun
- Q Maka = Debit limpasan tertinggi
- Tvg = Tanpa vegetasi
- Vmg = Vegetasi mangga
- Vbm = Vegetasi bambu
- $V_1 Tvg$ = Volume limpasan 12 *rainfall simulator* tanpa vegetasi
- $V_1 Vmg$ = Volume limpasan 15 *rainfall simulator* tanpa vegetasi
- $V_2 Vmg$ = Volume limpasan 12 *rainfall simulator* vegetasi mangga
- $V_3 Vmg$ = Volume limpasan 15 *rainfall simulator* vegetasi mangga

V_{Vbm}	= Volume impasan 12 <i>rainfall simulator</i> vegetasi bambu
V_{Vbm}	= Volume impasan 15 <i>rainfall simulator</i> vegetasi bambu
C_{Tvg}	= Koefisien impasan 12 <i>rainfall simulator</i> tanpa vegetasi
C_{Tvg}	= Koefisien impasan 15 <i>rainfall simulator</i> tanpa vegetasi
C_{Vmng}	= Koefisien impasan 12 <i>rainfall simulator</i> vegetasi mangga
C_{Vmng}	= Koefisien impasan 15 <i>rainfall simulator</i> vegetasi mangga
C_{Vbm}	= Koefisien impasan 12 <i>rainfall simulator</i> vegetasi bambu
C_{Vbm}	= Koefisien impasan 15 <i>rainfall simulator</i> vegetasi bambu
Q_{d}	= Debit impasan <i>rainfall simulator</i>
Q_{d}	= Debit impasan metode rasional
$Q_{\text{d,Tvg}}$	= Debit impasan 12 <i>rainfall simulator</i> tanpa vegetasi (m^3/detik)
$Q_{\text{d,Vmg}}$	= Debit impasan 12 <i>rainfall simulator</i> vegetasi mangga (m^3/detik)
$Q_{\text{d,Vbm}}$	= Debit impasan 12 <i>rainfall simulator</i> vegetasi bambu (m^3/detik)
$Q_{\text{d,Tvg}}$	= Debit impasan 15 <i>rainfall simulator</i> tanpa vegetasi (m^3/detik)
$Q_{\text{d,Vmg}}$	= Debit impasan 15 <i>rainfall simulator</i> vegetasi mangga (m^3/detik)
$Q_{\text{d,Vbm}}$	= Debit impasan 15 <i>rainfall simulator</i> vegetasi bambu (m^3/detik)
$Q_{\text{d,Tvg}}$	= Debit impasan 12 metode Rasional tanpa vegetasi (m^3/detik)
$Q_{\text{d,Vmg}}$	= Debit impasan 12 metode Rasional vegetasi mangga (m^3/detik)
$Q_{\text{d,Vbm}}$	= Debit impasan 12 metode Rasional vegetasi bambu (m^3/detik)
$Q_{\text{d,Tvg}}$	= Debit impasan 15 metode Rasional tanpa vegetasi (m^3/detik)
$Q_{\text{d,Vmg}}$	= Debit impasan 15 metode Rasional vegetasi mangga (m^3/detik)
$Q_{\text{d,Vbm}}$	= Debit impasan 15 metode Rasional vegetasi bambu (m^3/detik)

BAB I

PENDAHULUAN

A. Latar Belakang

Dalam siklus hidrologi, hujan merupakan salah satu materi yang ada pada siklus air dalam siklus hidrologi. Selain udara/biliran air dari atmosfer yang jatuh ke bumi. Hujan merupakan komponen air dari air dalam sifat wilayah. Hujan juga merupakan sumber air utama suatu wilayah. Wilayah dengan volume air cukup akan mengakibatkan kerusakan yang besar pada suatu wilayah mengalami defisiensi air cukup besar, terutama pada wilayah tropis dengan laju evapotranspirasi yang cukup besar. Variabel hujan (precipitation) diantaranya jumlah (total), lama curah, dan intensitas hujan merupakan variabel atau faktor penting dalam pengendalian dan impasian permukaan dan relasi antara konsernasi tanah dan air (Mawardi, 2012).

Besarnya jumlah hujan yang turun disebut juga dengan intensitas curah hujan yang dinyatakan dalam satuan jarak/jam, yakni volume hujan bagi satuan waktu. Tingkat intensitas hujan bervariasi, tergantung pada durasi curah hujan dan frekuensi kejadiannya. Intensitas curah hujan yang tinggi pada umumnya berlangsung dengan durasi pendek.

Lama dan intensitas curah hujan yang besar atau lebat akan menyebabkan pengurangan kapasitas infiltrasi secara konstan. Hal ini dochakan karena adanya pemadatan permukaan tanah terjadi karena pukulan butir-butir hujan, pembengkakkan (swelling) dan tanah liat, penyumbatan pori-pori dengan partikel-

partikel kecil yang terbawa masuk bersama dengan air hujan, serta timbulnya gelembung-gelembung udara dalam pori-pori tanah.

Dengan adanya kondisi tersebut, akan mempengaruhi kondisi limpasan permukaan yang terjadi pada saat terjadi banjir, sesuai yang diisyaratkan oleh Rudianto Wahyu Prahowo dkk. 2012 bahwa dalam limpasan permukaan terjadi jika air hujan yang jatuh lebih besar dari kapasitas infiltrasi bahan tanah. Kondisi ini sangat dipengaruhi oleh karakter bahan dasarnya berdasarkan arah hujan, karakteristik lahan, karakteristik tanah, ketinggiannya lahan dan kedudukannya. Karakteristik tanah yang mempengaruhi banjir adalah kepadatan tanah, kadar air tanah, tekstur tanah, struktur tanah, kandungan bahan organik tanah, dan kondisi vegetasi permukaan tanah.

Pada pertengahan bulan Januari tahun 2019, sebagian kota Makassar, provinsi Sulawesi Selatan mengalami banjir. Akibat banjir tersebut dalam sehari semalam di ketahui mencapai ketinggian banjir mencapai dua orang dewasa. Ketinggian air di benda air Bili-Bili rata-rata mencapai 100 meter. Banjir besar yang terjadi dalam sehari semalam ini menyindakan adanya masalah pada siklus hidrologi di daerah tersebut. Masalah tersebut dapat terjadi salah satunya akibat dari kurangnya daerah resapan (infiltrasi) dan drainase yang tidak memadai sehingga limpasan membesar dan terjadi banjir yang dipastikan akan mengikuti daerah aliran sungai (DAS) dan daerah sekitarnya.

Hal ini membuktikan bahwa dibutuhkan pengetahuan lebih terhadap pengaruh-pengaruh intensitas arah hujan pada berbagai kondisi tutupan lahan,

agar kedepannya kita dapat lebih memahami dan meminimalisir dampak negatif yang akan terjadi

Berdasarkan hal-hal yang telah diuraikan di atas, maka penulis melakukan penelitian dengan judul "Pengaruh Intensitas Curah Hujan Terhadap Limpasan Permukaan dan Koefisien Limpasan pada Variasi Tutupan Lahan Menggunakan Alat *Rainfall Simulator*"

B. Rumusan Masalah

Berdasarkan latar belakang masalah di atas maka dapat diuraikan permasalahan pada penelitian sebagai berikut:

- 1) Bagaimana pengaruh intensitas curah hujan terhadap limpasan permukaan dan koefisien limpasan?
- 2) Bagaimana pengaruh vegetasi terhadap koefisien limpasan?

C. Tujuan penelitian

Dengan mewacan pada rumusan masalah di atas, maka tujuan penelitian ini adalah:

- 1) Untuk menganalisis pengaruh intensitas curah hujan terhadap limpasan permukaan dan koefisien limpasan
- 2) Untuk menganalisis pengaruh vegetasi terhadap koefisien limpasan

D. Manfaat Penelitian

Manfaat yang diperoleh dari penelitian ini adalah sebagai berikut:

- 1) Dapat menjadi literatur bagi pelajar untuk memahami tentang pengaruh intensitas curah hujan terhadap limpasan permukaan
- 2) Hasil penelitian ini dapat menjadi referensi pengetahuan dalam kegiatan penelitian mengenai koefisien limpasan permukaan yang dilakukan di masa mendatang

E. Batasan Masalah

Jika penelitian ini dapat berjalan dengan efektif dan mencapai tujuan yang ingin dicapai, maka penelitian ini dibenarkan batasan masalah sebagai berikut:

- 1) Penelitian dilakukan di Laboratorium Mikrobiologi Universitas Muhammadiyah Makassar
- 2) *Haworthia fasciata* sebagai objek penelitian adalah tipe tanaman hias dan buang
- 3) Vegetasi yang digunakan adalah tanaman bambu dan mangrove
- 4) Tidak memilih faktor-faktor penyebab limpasan permukaan seperti kondisi infiltrasi, karakteristik bahan air, atau faktor-faktor organik tanah

F. Sistematika Penulisan

Penulisan tugas akhir ini memuat lima bab penting yang menjelaskan judul tugas akhir, dan memuat sistem penelitian beserta hasilnya. Isi dari lima bab tersebut adalah sebagai berikut:

BAB I PENDAHULUAN. bab ini merupakan bagian awal dari pembahasan yang meliputi latar belakang, rumusan masalah, tujuan penelitian, manfaat penelitian, batasan masalah, dan sistematika penulisan

BAB II ITINJAUAN PUSTAKA, dalam bab ini dimuat teori-teori yang menjadi teori penyokong yang membantu dalam memahami pengembangan pada penelitian ini.

BAB III METODE PENELITIAN, dalam bab ini diucapkan tentang lokasi penelitian, metode pelaksanaan penelitian, dan analisa data.

BAB IV HASIL DAN PEMBAHASAN, bab ini berisi hasil dan pembahasan terhadap penelitian yang telah dilakukan yaitu, rancangan dan tentang hasil-hasil yang diperoleh dari proses penelitian dan pembahasannya. Penyajian hasil penelitian memerlukan deskripsi sistematis, teliti dan yang diperlukan. Sedangkan pada bagian pembahasan dina hasil penelitian dijelaskan dengan tuntas untuk mencapai tujuan penelitian.

BAB V KESIMPULAN DAN SARAN, bab ini berisi kesimpulan yang mencakup kesetaraan isi penulisan dan saran dari penulis.

BAB II

TINJAUAN PUSTAKA

A. Tutupan Lahan dan Vegetasi

Tutupan lahan adalah kondisi kompleks yang merubah permukaan bumi yang diamati. Penggunaan lahan adalah penutupan vegetasi dan bahan terhadap jenis tutupan lahan tertentu untuk memfasilitasi sesuatu tujuan atau membah atau mempertahankannya. Menurut Malingreis (1978), penutupan lahan yaitu semua macam sampah tanah maupun baik secara micro-organisme berpasihnya maupun terhadap suatu kelompok sumberdaya alam dan sumberdaya bahan, yang secara keseluruhan disebut alam. Dengan tujuan ini, maka dapat dikatakan bahwa baik material maupun spiritual merupakan bahan-bahannya.

Dalam pengembangan studi lahan memperhatikan klasifikasi penutupan lahan. Klasifikasi penggunaan lahan merupakan pedoman atau acuan dalam proses interpretasi spasial dan penilaian resiliensi lahan menggunakan citra penginderaan jauh. Tujuan klasifikasi adalah agar data obyek dalam informasi yang sederhana dan mudah dipahami. Vegetasi tutupan lahan merupakan sumberdaya alam yang nampak dipermukaan bumi, tutupan lahan sebagai bagian dari komponen ekosistem DAS yang mempunyai peranan penting terhadap infiltrasi, aliran permukaan, erosi dan sedimentasi serta debit air (Kadir, 2013).

Limpasan permukaan merupakan komponen yang mempengaruhi siklus air pada suatu DAS yang memainkan peranan penting dalam mendistribusi curah hujan. Aliran permukaan yang tinggi dapat mempengaruhi kuantitas air yang

menyebabkan kejadian banjir pada bagian hilir DAS. Penggalian dan tutupan lahan yang dilaksanakan dan tidak sesuai dengan peruntukannya pada kawasan timbul dan kawasan buchdaya pertanian akan berdampak tingginya tingkat kerusakan lahan yang dapat memudahkan bermuara untuk kepemilikan perluasan dan peningkatan kesadaran masyarakat (Zhang dan Wang, 2007).

Menurut Undang Undang Republik Indonesia No. 37 Tahun 2014 tentang Konservasi Lahan dan Air, lahan kritis merujuk kepada lahan yang fungsinya kurang baik sebagai media produksi untuk melaksanakan tumpukan yang dibudidayakan atau yang tidak dibudidayakan. Laju kerusakan lahan termasuk perubahan tatawil vegetasi lahan adalah salah satu indikator yang menyebabkan kerusakannya. Jadi lahan kritis berkaitan dalam manajemen suatu kawasan hutan.

B. Intensitas Curah Hujan

Curah hujan merupakan jumlah air hujan yang jatuh pada suatu satuan time. Satuan curah hujan dinyatakan dalam mm sedangkan derajat curah hujan dinyatakan dalam curah hujan persatu waktu dan disebut juga dengan intensitas hujan. Dengan demikian apabila diketahui curah hujan 1 mm berarti curah hujan tersebut adalah sama dengan 1 liter/m². Intensitas hujan adalah jumlah curah hujan dalam suatu satuan waktu, yang biasanya dinyatakan dalam mm/jam, mm/hari, mm/minggu dan sebagainya. Intensitas curah hujan adalah besarnya air

hujan yang jatuh ke permukaan bumi pada satuan luas (Kensaku Takeda dan Suyono S).

Intensitas hujan yang tinggi pada umumnya berlangsung dengan durasi pendek dan meliputi daerah yang tidak besar. Hujan yang meliputi daerah yang besar, jarang sekali terjadi dengan intensitas hujan yang tinggi, tetapi dapat berlangsung dengan durasi cukup panjang, atau lama menurut hasil sejauh ini terjadi, jika itu terjadi berarti sejumlah besar volume air dicampurkan dari hujan (Sudijawati, 1987). Adapula halaman corak hujan ini dapat diperoleh perbaikannya data cuaca hujan yang telah terjadi pada tahun-tahun sebelumnya.

Distribusi luas akhirnya menggunakan penyebarluasan wilayah terjadinya hujan. Berikut klasifikasi intensitas hujan yang disajikan dalam tabel 1.

Tabel 1. Klasifikasi Intensitas Hujan

No:	Intensitas Hujan	
	(mm/jam)	Klasifikasi
1	0-5	Ruang kecil
2	6-10	Kecil
3	11-25	Sedang
4	26-50	Agak besar
5	51-75	Besar
6	>75	Sangat besar

Perhitungan luas hujan diperoleh dari hasil tangkapan yang tertampung di setiap stasiun hujan, intensitas hujan diperoleh dari hasil pengukuran hujan rata-rata di setiap poligon dan volume limpasan diperoleh dari hasil perhitungan air limpasan selama hujan turun. Sedangkan untuk analisis intensitas hujan dilakukan dengan menggunakan curah hujan harian maksimum dengan Metode Moninobe, Van Breen, Haarier der Wedewer dan Pfeil-Timbroto.

Metode Moninobe dikembangkan oleh Dr. Moninobe. Adipati turus yang digunakan:

$$I = \frac{R_{24}}{24} \left(\frac{25}{r} \right)^2 \quad (4)$$

dengan :

- I = Intensitas curah hujan sekitar 100% of non-concentration (mm/jam).
- R₂₄ = Curah hujan rata-rata dalam satuan persentase yang nilainya didapat dari tahapan sebelumnya (titik pada analisis n=50mm).
- r = Lamanya curah hujan dalam curah hujan (jam).

C. Limpasan Permukaan (Run-Off)

Limpasan permukaan (run off) adalah bagian dari curah hujan yang mengalir di atas permukaan tanah menuju ke sungai, danau dan lautan. Air hujan yang jatuh ke permukaan tanah ada yang langsung masuk ke dalam tanah atau disebut air infiltrasi. Air yang tidak masuk ke dalam tanah dan akan mengalir di atas permukaan tanah ke tempat yang lebih rendah. Bagian dari air hujan yang telah masuk ke dalam tanah, terutama pada tanah yang hampir atau telah jenuh,

air tersebut keluar ke permukaan tanah lagi dan lalu mengalir ke bahan yang lebih rendah. Air di air permukaan yang disebut terakhir sering juga disebut air larian atau limpasan.

Curah hujan yang jatuh terlebih dahulu memenuhi air untuk evaporasi, intersepsi, infiltrasi, dan mengisi cekungan tanah baru. Kemudian air liran berlangsung ketika curah hujan melebihi laju infiltrasi ke dalam tanah. Semakin lama dan semakin tinggi intensitas hujan akan menghasilkan laju liran semakin besar. Nah bukti intensitas hujan yang terlalu tinggi dapat menghilangkan agregat tanah sehingga akhirnya pori-pori tanah akibatnya mengurangi kapasitas infiltrasi. Volume air liran akan lebih besar pada hujan yang intensif dan terserang secara diseluruh wilayah DAS dari pada hujan tidak mesinti apalagi kurang intensif. Faktor lain yang mempengaruhi volume air liran adalah bentuk dan ukuran DAS, topografi, vegetasi dan tanahnya itu.

Kerapatan daerah aliran air (drainase) mempengaruhi kecepatan air liran. Kerapatan daerah aliran adalah jumlah drainase atau saluran air sumur (km) dibagi luas DAS (km^2). Makin tinggi kerapatan daerah aliran maka besar kecepatan air liran sehingga debit puncak tercapai dalam waktu yang cepat. Vegetasi dapat menghalangi jalannya air liran dan memperbesar jumlah air infiltrasi dan masuk ke dalam tanah.

I. Faktor-Faktor Yang Mempengaruhi Limpasan Permukaan

Limpasan permukaan sangat berhubungan dengan infiltrasi, oleh karena itu dengan memahami proses terjadinya limpasan permukaan, faktor yang berpengaruh akan bisa dilakukan analisis limpasan permukaan serta kaitannya.

dengan erosi dan sedimentasi. Faktor-faktor yang mempengaruhi infiltrasi juga akan mempengaruhi kapasitas permukaan. Laju infiltrasi dipengaruhi oleh jenis tanah, kondisi permukaan tanah, tekstur dan struktur tanah, kandungan bahan organik, kepadatan tanah, kedalaman solusi tanah, kadar air awal tanah dari tipe hujan yang terjadi atau cara pemberian air ini dan akhir berlangsung.

Seindirisono dan Tukesta (1979) dalam Zilnu (2000:12) mengemukakan bahwa sekitar 70% dari permukaan terjadi ketidakjelasan akibat hujan melampaui kapasitas infiltrasi, setelah hujan infiltrasi berpadaan, air itu akan menciptakan cekungan atau depresi pada permukaan tanah. Setelah peristiwa tersebut maka air akan mengalir dengan bebas di permukaan tanah. Faktor-faktor yang mempengaruhi kapasitas permukaan dituliskan sebagai faktor-faktor, yaitu elemen meteorologi dan elemen fisik daerah pengaliran.

Elemen meteorologi meliputi jenis precipitasi, intensitas, durasi, dan laju hujan, dan distribusi hujan dalam daerah pengaliran, sedangkan elemen fisik fisik daerah pengaliran meliputi laju, bentuk tanah (kontur), jenis tanah dan keindikan topografi daerah pengaliran (contour). Elemen fisik fisik dapat dikategorikan sebagai aspek statis sedangkan elemen meteorologi merupakan aspek dinamis yang dapat berubah terhadap waktu, adapun faktor-faktor yang mempengaruhi kapasitas permukaan sebagai berikut :

- Hujan
- Laju dan kapasitas infiltrasi tanah
- Kondisi DAS
- Ciri-ciri hujan

c. Kondisi penggunaan lahan

C. Latar daerah pengaliran

2. Proses Terjadinya Limpasan Permukaan

Ada empat asumsi untuk mengelaborasi proses limpasan (Marzuki, 1980 dalam Arsyad, 2000). Asumsi-asumsi tersebut adalah:

- Terdapat batas maksimum tanah untuk menyerap air, yaitu adanya kapasitas infiltrasi yang berangsur-hambat hujan berlangsung.
- Jika kapasitas infiltrasi lebih besar dari pada intensitas hujan, maka belum terdapat limpasan.
- Curah hujan lebih besar dibandingkan akan mengisi cekungan-cekungan di permukaan lahan tersebut dulu.
- Seterusnya cekungan-cekungan di permukaan tanah masih belum mampu menahan limpasan permukaan terjadi.

Menurut Arsyad (1982 dalam Hamidah, dkk., 1991), proses terjadinya limpasan permukaan adalah sebagai berikut yang terjadi diatas permukaan tanah pada suatu wilayah pertama-sama akan masuk kedalam tanah sebagai air infiltrasi setelah ditahan oleh tajuk pohon sebagai air intersepsi. Infiltrasi akan berlangsung terus selama air masih berada di bawah kapasitas lapang. Apabila hujan tetap berlangsung dan kapasitas lapang telah terpenuhi, maka ketebihan air hujan tersebut akan tetap terinfiltasi yang selanjutnya akan mengisi air perkolasi dan sebagian digunakan untuk mengisi cekungan atau depresi permukaan tanah sebagai simpanan permukaan (*depression storage*), selanjutnya tetelah simpanan depresi terpenuhi, ketebihan air tersebut akan menjadi genangan air yang disebut

tambatan permukaan (*detention storage*). Sebelum menjadi aliran permukaan (*over land flow*) kelebihan air hujan diatas sebagai mengap atau terevaporasi walaupun jumlahnya sangat sedikit.

Setelah proses-proses hidrologi dasar tercapai dan air hujan masih berlebih, baik hujan masih berlangsung atau tidak, maka aliran permukaan akan terjadi. Selanjutnya aliran permukaan ini akan mencapai satuan-satuan dan akhirnya akan memasuki seluruh sistem drainase dari 250 km². Sifat-sifat dik (1981) dalam Handjaja dkk. (1993) mengemukakan bahwa impas tanah air tidak akan menjadi sumber evapotranspirasi, sebaliknya infiltrasi simpangan depan, tumbuhan pohon-pohon dan obatan saluran menyebabkan

3. Hubungan Curah Hujan dengan Limpasan

Menurut Scyhan (1990), hubungan antara curah hujan dengan limpasan tidaklah langsung. Diantara keduanya, evapotranspirasi, intensitas cuaca dan depresi, cadangan salju dan infiltrasi berkaitan tetapi bukan diantara cabang karakteristik-karakteristik dari ukuran, kemiripan, bentuk, lokasi dsb. tetapi guna bahan serta genetika daerah aliran sungai.

Horton (1993) dalam Scyhan (1990) menerangkan bahwa ada 4 tipe peningkatan limpasan yang disebabkan oleh curah hujan yaitu

- a. I<fc - tidak terdapat limpasan
- P<df - semua air yang difiltrasi tetap pada intakat tak jemih
- b. I=fc - tidak terdapat limpasan
- P=df - pengembalian kembali air tanah dengan jumlah yang sama dengan P
- c. I>fc - terdapat limpasan

- P>dit. - tidak terdapat pengisian kembali air tanah
- d. D>dit. - terdapat impasian permukaan
- P>dit. - pengisian kembali air tanah

keterangan:

- 1. - intensitas curah hujan
- p. - curah hujan
- fc - kapasitas infiltrasi
- dit. - definisi lahan tanah

4. Pengukuran Debit Limasan Permukaan

Debit puncak (peak) pada saat puncak banjir sangat diperlukan untuk untuk perencanaan pengendalian banjir seperti check dam, pelampung, saluran pembuangan air, waduk dan sebagainya. Salah satu cara untuk mendapatkan debit sungai adalah dengan menggunakan perangkat suatu, biasanya disimpulkan dengan mengukur penampang sungai dan kecepatan aliran airnya.

Pengukuran kecepatan aliran bisa dilakukan dengan 2 cara yakni pelampung atau dengan alat ukur kecepatan propeller (current meter). Pengukuran kecepatan menggunakan pelampung memang memberikan ketelitian yang rendah, karena hanya bisa mengukur kecepatan aliran di permukaan air. Oleh karena itu cara pelampung ini disarankan hanya untuk saluran yang tidak terlalu lebar dan dalam. Dengan penampang yang hampir seragam dan aliran airnya tureak (steady). Untuk saluran atau sungai yang cukup lebar dan dengan dalam dan dengan bentuk geometri penampang yang tidak teratur, pengukuran kecepatan aliran dengan alat ukur kecepatan dalam bentuk propeller.

Pengukuran kecepatan dengan bungan ukur. Untuk saluran air yang tidak terlalu besar dan dalam, pengukuran debit aliran bisa menggunakan bungan ukur debit yang dipasang pada pengukuran yang terpilih. Terdapat dua jenis bungan ukur yakni tipe bendung (*weir*) dan tipe saluran atau gorongan terbuka (*flume*). Pengukuran debit menggunakan bungan ukur pada umumnya dilakukan pada saluran irigasi atau sungai yang tidak terlalu jauh serta mempunyai keteraturan aliran yang cukup (perbedaan daya tahan arus antara bagian mulut dan rute besar) sehingga air yang melewati arah bendung (crest) akan berlalu larut.

Selain kelebihan arah arus horisontal maupun vertikalnya, oleh karena itu pengukuran kecepatan dilakukan di beberapa titik kedalamnya dan tidak seluruh atau sebagian. Debit arus impasan permukaan saluran atau sungai yang dinkar merupakan jumlah perkalian dari kecepatan dan luas penampang arus masing-masing sumbu.

5. Perhitungan Debit Limpasan Permukaan

Debit sungai merupakan jumlah arus air (volume air) yang melewati suatu penampang melintang sungai per satuan waktu, dimana satuan besaran debit dalam satuan internasional adalah meter kubik per detik (m^3/dt) (Rau, 2012). Impasan permukaan ($run-off$) merupakan komponen terbesar penyumbang debit pada saat terjadi banjir.

Debit impasan permukaan dihitung dengan menggunakan rumus sebagai berikut:

$$Q = \frac{V}{t} \quad (2)$$

dengan:

- Q = Debit limpasan (liter/menit)
- V = Volume limpasan (liter)
- t = Waktu (menit)

Menurut Arsyad (2010; Acham Setiawan, 2017) metode Rasioal dalam menentukan laju percolasi air tanah berukuran (debit percolasi) mempertimbangkan waktu konseptasi, yaitu waktu yang dibutuhkan air yang ditahan di permukaan tanah dari tempat turun hujan sampai keluarinya ke arah di antara dekat aliran. Persamaan dalam menghitung debit limpasan dengan metode Rasioal adalah sebagai berikut:

$$Q = C \times I \times A$$

dengan:

- Q = Debit limpasan (m³/detik)
- C = Koefisien limpasan
- I = Intensitas curah hujan (mm/detik)
- A = Luas area (Hektar)

D. Koefisien Limpasan

Koefisien limpasan permukaan (C) merupakan bilangan yang menunjukkan rasio (perbandingan) antara besarnya limpasan permukaan terhadap besarnya curah hujan. Nilai koefisien limpasan permukaan adalah salah satu indikator untuk menentukan apakah suatu DAS telah mengalami gangguan (risk). Nilai C berkisar antara 0-1. Nilai C = 0 menunjukkan bahwa air

hujan terdistribusi menjadi air intersepsi dan sifatnya infiltrasi, sedangkan untuk nilai $C = 1$ menunjukkan bahwa semua air hujan mengalir sebagai limpasan permukaan.

Koefisien limpasan permukaan didefinisikan melalui perbandingan laju aliran permukaan dalam satuan millimeter (mm) dengan jumlah curah hujan dalam satuan millimeter (mm). Perbedaan laju aliran dan lempangan berperan dalam mempengaruhi besar kerjanya laju aliran permukaan yang terjadi saat hujan turun (Puirlinda, 2012).

Koefisien resapan permukaan dalam pengukuran dilakukan himbau sebagai berikut:

$$C = \frac{\text{Laju Lempasan}}{\text{Jumlah Rata-Rata Curah Hujan}} \quad (4)$$

dimana:

$$\text{Laju Lempasan} = \frac{\text{Volume Lempangan (mm)}}{\text{Area Keluarnya (m²) x Waktu (menit)}} \quad (5)$$

E. Rainfall Simulator

Alat yang digunakan untuk membuat simulasi pada penelitian ini yaitu menggunakan *Rainfall Simulator*. *Rainfall simulator* merupakan alat yang memungkinkan untuk melihat siklus hidrologi dalam skala kecil, tetapi ada faktor yang tidak dimasukkan dalam alat ini yaitu faktor evapotranspirasi dan evapotranspirasi yang dimana kedua hal tersebut diambilkan oleh matahari dan tanaman.

Pada saat hujan turun telah dibentukkan tidak berarti debit yang keluar dari petak tanah itu terhenti. Oleh karena masih ada tumpungan permukaan, maka masih terdapat aliran keluar dari petak tanah tersebut. Jadi pengukuran debit

masih berjalan terus dilakukan sampai debit yang keluar dari petak tanah sama dengan nol. Setelah alat berjalan beberapa lama, selisih I (intensitas) dan Q (limpasan) menjadi hampir konstan. Sesudah hujan buatan dihentikan, limpasan tidak langsung berhenti, tetapi mengalami irasasi karena masih ada sisa air tertahan di permukaan sebagai air delesi karena air infiltrasi masih terjadi, meskipun kecepatannya kecil (A. R. Oymali et al., 2012).

Peralatan ini memiliki fungsi utama dengan dimensi ukuran $1\text{ m} \times 1.2\text{ m} \times 0.5\text{ m}$. Pada bagian atas, rangka ini memiliki jarak selaras yang bisa menutupi besarnya buatan hujan yaitu jauh. Tangki air ini juga memiliki dua buah pipa berpori bagian dasar, dan dua tangki perkolator air ini. Tuarki ini juga mengandung dua saluran air yang termuung ke tanah lain yaitu tangki pengukur air, dimana setiap saluran dapat diukur melalui ukurannya. Di bawah tanah terdapat tabung pesometrik yang mengukurkan melalui level air stamp dan

Pengaturan tekanan air pada sistem dapat dilihat pada jembat tabel berikut.

Tabel 2. Standar Intensitas Hujan

Rain Condition	Rain Fall Rate	Flow Rate
Extreme	14 mm/min 840 mm/hour 33.1 inch/hour	16.8 L/min
High	8 mm/min - 14 mm/min 480 mm/hour - 840 mm/hour 16.7 inch/hour - 33.1 inch/hour	9.6 L/min - 16.8 L/min
Medium	1.7 mm/min - 8 mm/min 102 mm/hour - 480 mm/hour 4.0 inch/hour - 18.9 inch/hour	2.04 L/min - 9.6 L/min
Low	1.07 mm/min - 1.7 mm/min 64.2 mm/hour - 102 mm/hour 2.5 inch/hour - 4.0 inch/hour	1.28 L/min - 2.04 L/min
Very Low	0 mm/min - 1.07 mm/min 0 mm/hour - 64.2 mm/hour 0 inch/hour - 2.5 inch/hour	0 L/min - 1.28 L/min

(sumber: Laboratorium Teknik Unimash Makassar)

BAB III

METODE PENELITIAN

A. Lokasi dan Waktu Penelitian

1. Lokasi Penelitian

Penelitian ini dilakukan di kota Makassar di bawah Pengawas Universitas Muhammadiyah Makassar.

2. Waktu Penelitian

Penelitian ini dilaksanakan pada tanggal 25 Januari sampai 25 Februari 2020.

B. Bahan dan Alat

1. Bahan

Bahan-bahan yang digunakan dalam penelitian ini adalah sebagai berikut:

a. Data curah hujan

Data curah hujan berasal dari Balai Besar Wilayah Sungai (BBWS) Jemberang.

b. Sampel Tanah

Sampel tanah diperoleh dari tanah pada daerah-daerah DAS Maros terutama di daerah Tantalo, Bantimurung dan Tompo Bolu. Berdasarkan klasifikasi AASHTO, sampel tanah termasuk dalam grup klasifikasi A-2-6, dengan tipe material secara umum adalah berlempung dan pasir.

c. Vegetasi

Vegetasi yang digunakan dalam penelitian ini adalah vegetasi mangga dan bunga. Berikut adalah keterangan fisik dari vegetasi yang digunakan:

Tabel 3. Keterangan fisik vegetasi mangga

No.	Tinggi Pohon		Panjang Akar (cm)
	(cm)	(cm)	
1	107	10	16
2	102	10	16
3	97	10	16
4	87	10	15
5	69	10	15
6	54,5	10	12
7	52,5	10	10

Tabel 4. Keterangan fisik vegetasi bunga

No.	Tinggi Pohon		Panjang Akar (cm)
	(cm)	(cm)	
1	29,5	10	16,5
2	38	10	14
3	31	10	13

2. Alat

Alat-alat yang digunakan adalah sebagai berikut

- a. Alat *rainfall simulator* (simulasi hujan) yang digunakan dalam penelitian ini merupakan *rainfall simulator* tipe basic hydrology system yang memiliki bek petcohan utama dengan dimensi ukuran 1m x 1,2m x 0,5m.



- Keterangannya sebagai berikut :
- (1) Gantung cuci pembatas
 - (2) penyaringan untuk buang pada saringan
 - (3) Bak percolasi plasma
 - (4) saluran air untuk kompresi ulasan saringan
 - (5) Pintu limpasan air
 - (6) dran ukur keluaran saringan (6 buah)
 - (7) Manometer saringan
 - (8) dran ukur limpasan pada bak up
 - (9) Penampung dan penyaringan air buangan
 - (10) dran ukur keluaran saringan (6 buah)
 - (11) Panel kendali I

- (12). Saluran pembuangan air/mukur
 - (13). Reservoir (Penampungan air sumber hidup)
 - (14). Panel kendali katup untuk operasional curahan air
 - (15). Saluran air buangan untuk seluruh sistem air
- b. Penggaris
 - c. Stopwatch
 - d. Gelas sikur
 - e. Tabung skinder
 - f. Posam
 - g. Cuvette
 - h. Oven
 - i. Timbangan
 - j. Alat penampang
 - k. Sarinjau

C. Jenis Penelitian dan Sumber Data

1. Jenis Penelitian

Jenis penelitian dalam penelitian ini berfitur eksperimental, dimana peneliti meminjam dan mengatur kondisi jalannya penelitian yang berdasar pada literatur yang berkaitan dengan tema penelitian. Penelitian dilakukan dengan tujuan untuk menyelidiki hubungan sebab akibat dan pengaruh yang dapat ditumbusukan. Penelitian ini juga didasari dengan adanya kontrol literatur sebagai perbandingan koreksi hasil penelitian.

2. Sumber Data

Pada penelitian ini digunakan dua sumber data, yaitu:

- 1) Data primer, yaitu data yang diperoleh langsung dari subjek penelitian
- 2) Data sekunder, yaitu data yang diperoleh dari hasil penelitian yang sudah ada, diantaranya data cuaca hujan dan data sampel tanah.

D. Prosedur Penelitian

Untuk mencapai tujuan yang diharapkan maka dilakukan langkah-langkah penelitian secara sistematis. Adapun langkah-langkah yang digunakan dalam penelitian ini adalah sebagai berikut:

1. Tahapan Persiapan

Tahapan persiapan merupakan tahapan awal yang dilakukan untuk mempersiapkan jalannya penelitian, seperti:

- 1) Pembersihan area
- 2) Persiapan perangkat dan alat yang digunakan
- 3) Pengocokan tanah atau datarahan
- 4) Persiapan personil pengamatan yang bertugas

2. Tahapan *Running Test*

- 1) *Running test* ke-1. Pengukuran limpasan permukaan pada tanah tanpa vegetasi

Sampel tanah yang telah disiapkan dimasukkan kedalam bak uji dengan tinggi (y) 20 cm dan lemahngan (m) 3°. Selanjutnya tanah dipedatkan dengan 5x

tumbukan dengan tinggi alat penumbuk dan tanah adalah 16 cm. Kemudian ditulokar *soil core test* untuk mendapatkan hasil kepadatan tanah.

Rutting test kemudian dijalankan pada *rainfall simulator* dengan intensitas hujan buatan yang ditetapkan 300 mm perhitungan dan tiap seteng waktu 5 menit akan dicatat ketahanan limpasan dan infiltrasi yang terampung dalam *core* ukir. Hujan berlangsung sampai tidak ada satupun jemah dan ketahanan infiltrasi dan limpasan akhirnya kompak. Kemandirian buatan dapat dilihatkan. Media tanah Lembaran bikelirukin dimakinkan agar pengeluaran fisiknya tersempurnya.



Gambar 2. Tampak samping ketahanan tanah dalam bak percobaan

- 2) *Rutting test* ke-2. Pengukuran limpasan permukaan dengan penumbuhan media akar tanaman.

Pada test ke-2 sampel tanah pada bak percobaan akan ditambahkan dengan media vegetasi yang telah disiapkan dengan jumlah dan variasi vegetasi yang berbeda. Kemudian proses *rutting test* akan dijalankan sama dengan proses yang ada pada *rutting test* 1.



Gambar 4. Tampilan atau keadaan posisi vegetasi mangga

Keteriringan:

- Jalan-jalan
- Tanah

3. Data dan Variabel Penelitian

Dalam penelitian ini pengujian akan dilakukan dengan model fisik laboratorium dengan berdasarkan pemahaman pada literatur yang membahas tentang infiltrasi dan limpasan permukaan (cm^3/min). Tujuan digunakan model fisik ini adalah untuk dapat mengukur dan memantau perubahan intensitas hujan terhadap limpasan permukaan secara luas di bawah peralatan analisis.

Data yang diperlukan agar hasil pengujian di laboratorium adalah sebagai berikut:

- 1) Waktu durasi hujan (t (menit))
- 2) Volume limpasan permukaan (V (ml)) atau (liter)

Pengambilan data pengamatan merupakan teknik sains dalam di laboratorium (1). Faktor-faktor pengamatan menjadi parameter utama dalam mencapai tujuan penelitian. Untuknya pengambilan data tidak akan berjalan sejalan dan memperhatikan sejumlah faktor seperti peralatan, teknologi, waktu, dan lingkungan. Dalam pengambilan data ini ada dua variabel yang diberikan, yaitu:

- 1) Waktu durasi hujan (tiap menit, t (menit))

untuk media tanpa vegetasi (T_{vg}), menggunakan vegetasi bambu (V_{bm}), dan menggunakan vegetasi mangga (V_{mg})

- 2) Volume limpasan, V (ml)

untuk media tanpa vegetasi (V_{vg}), menggunakan vegetasi bambu (V_{bm}), dan menggunakan vegetasi mangga (V_{mg})

Dengan data yang ada, diperoleh nilai debit limpasan (Q) untuk media tanpa vegetasi ($Q_{v=0}$), menggunakan vegetasi bambu ($Q_{v=b}$), dan menggunakan vegetasi mangga ($Q_{v=m}$) untuk tiap intensitas curah hujan (I).

E. Analisis Data

1. Analisa Data Awal

Pada analisa data awal, dilakukan penyeleksian metode untuk hujan sebelum dilakukan perhitungan. Untuk dimana data cuaca yang diperoleh dihitung menggunakan persamaan (1) yaitu rumus Alessya Monograph.

2. Analisa Data Akhir

Pada analisa data akhir, dilakukan perhitungan dengan menggunakan hasil akhir dari tujuh pencatatan (III). Setelah setuju, data hasil rancangan telah diperoleh, sehingga dilakukan analisis data limpasan sebagai berikut.

Dalam analisis debit limpasan, data yang dipergunakan adalah secara volume limpasan yang terjadi dalam rentang waktu yang dibutuhkan, kemudian dari data tersebut, diperoleh debit limpasan dan disampaikan dalam bentuk tabel dan grafik pengamatan yang memuat perbandingan sehingga pengaruh intensitas curah hujan terhadap limpasan dapat dilihat. Debit limpasan dihitung menggunakan persamaan (2), turun debit limpasan dan persamaan (3), rumis metode Rasional. Koefisien limpasan dihitung menggunakan persamaan (4).

F. Bagian dan Alur Penelitian



BAB IV

HASIL DAN PEMBAHASAN

A. Analisa Intensitas Curah Hujan Rainfall Simulator

Dari data perhitungan intensitas curah hujan diperoleh $I_1 = 287,631$ mm/jam dan $I_2 = 343,204$ mm/jam. Selain itu ada bantuan pada teknik rainfall rate 102-480 mm/jam yang merupakan teknik yang digunakan dalam perhitungan intensitas curah hujan. Untuk menghitung intensitas curah hujan kalibrasi pengukuran akan menggunakan teknik rainfall rate dapat dilihat pada tabel (2) standar intensitas hujan. Perhitungan intensitas curah hujan kalibrasi menggunakan teknik rainfall rate.

Tabel 5. Standar intensitas hujan

Rain Condition	Rainfall Rate mm/jam	Flow Rate mm/min
Medium	102	3,4
High	480	16,0

Setelah melakukan perhitungan dengan menggunakan rumus interpolasi, hasil intensitas curah hujan kalibrasi untuk penggunaan rainfall simulator yang diperoleh adalah $I_1 = 5,753$ liter/menit dan $I_2 = 6,864$ liter/menit. Urutan perhitungan untuk intensitas curah hujan kalibrasi dapat dilihat pada lampiran C.

Tabel 6. Rekapitulasi hasil perhitungan intensitas curah hujan

12		15	
287,631	(mm/jam)	343,204	(mm/jam)
5,753	(liter/menit)	6,864	(liter/menit)
0,00080	(m/detik)	0,00095	(m/detik)

B. Debit Limpasan pada *Running Test* I Tanpa Vegetasi

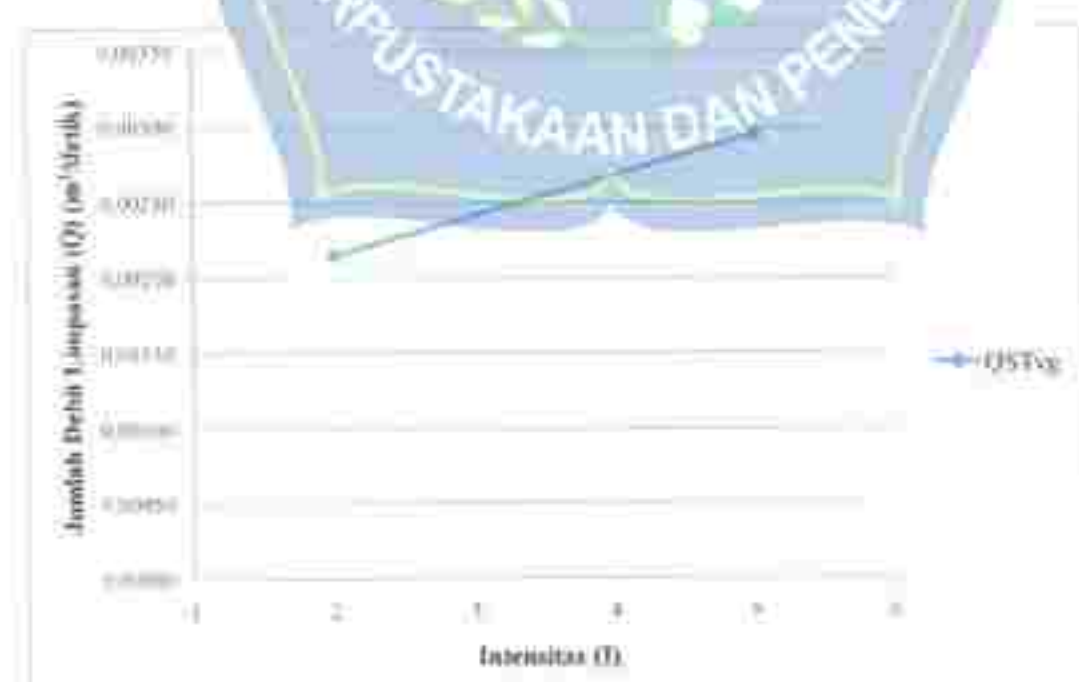
Tabel di bawah ini menunjukkan debit limpasan pada *running test* I tanpa vegetasi yang diambil setiap 5 menit sampai limpasan dianggap konstan. Debit limpasan $Q_{L,Tvg}$ dihitung menggunakan persamaan (2). Hasil perhitungan dapat dilihat pada lampiran B.

Tabel 7. Debit limpasan dengan waktu alir minimum t_{min} tanpa vegetasi

No.	Waktu (detik)	V_{Tvg} (m ³)	V_{Tvg} (m ³)	$Q_{L,Tvg}$ (m ³ /detik)	$Q_{L,Tvg}$ (m ³ /detik)
1	300	0,008	0,000	0,0000000	0,0000000
2	600	0,008	0,015	0,00000207	0,00000500
3	900	0,010	0,026	0,00000630	0,00000657
4	1200	0,010	0,016	0,00000317	0,00000517
5	1500	0,019	0,021	0,00000633	0,00000653
6	1800	0,020	0,022	0,00000607	0,00000650
7	2100	0,021	0,026	0,00000700	0,00000853
8	2400	0,021	0,021	0,00000701	0,00000801
9	2700	0,021	0,024	0,00000700	0,00000800
10	3000	0,023	0,026	0,00000702	0,00000850
11	3300	0,015	0,024	0,00000482	0,00000800
12	3600	0,018	0,025	0,00000585	0,00000833
13	3900	0,020	0,026	0,00000667	0,00000853
14	4200	0,021	0,026	0,00000700	0,00000850
15	4500	0,020	0,023	0,00000667	0,00000750
16	4800	0,018	0,026	0,00000583	0,00000850
17	5100	0,020	0,026	0,00000667	0,00000853
18	5400	0,016	0,026	0,00000523	0,00000857
19	5700	0,022	0,025	0,00000717	0,00000840
20	6000	0,020	0,026	0,00000650	0,00000833
21	6300	0,021	0,026	0,00000707	0,00000853
22	6600	0,022	0,026	0,00000717	0,00000857
23	6900	0,022	0,026	0,00000717	0,00000860
24	7200	0,021	0,026	0,00000713	0,00000860

Tabel 7. Debit limpasan dengan *rainfall simulator running test* I tanpa vegetasi (tabel lanjutan)

No.	Waktu (detik)	V_2Tvg (m ³)	V_3Tvg (m ³)	$Q_{s2}Tvg$ (m ³ /detik)	$Q_{s3}Tvg$ (m ³ /detik)
25	7500	0,022	0,026	0,0000725	0,0000850
26	7800	0,022	0,025	0,0000720	0,0000840
27	8100	0,022	0,026	0,0000712	0,0000850
28	8400	0,022	0,025	0,0000715	0,0000845
29	8700	0,022	0,024	0,0000717	0,0000860
30	9000	0,021	0,026	0,0000715	0,0000850
31	9300	0,021	0,028	0,0000710	0,0000850
32	9600	0,021	0,026	0,0000710	0,0000850
33	9900	0,021	0,029	0,0000710	0,0000857
34	10200	0,020	0,026	0,0000719	0,0000857
35	10500	0,020	0,026	0,0000700	0,0000860
36	10800	0,020	0,026	0,0000700	0,0000867
37	11100	0,020	0,026	0,0000700	0,0000867
Jumlah	9646	0,286	0,021517	0,0029537	
Rata-rata	0,019	0,024	0,0000592	0,0000798	



Gambar 5. Hubungan intensitas dan debit limpasan *rainfall simulator running test* I tanpa vegetasi

Untuk menghitung koefisien limpasan CTvg digunakan persamaan (4)

Uraian perhitungan koefisien limpasan dapat dilihat pada lampiran II.

Tabel 8. Koefisien limpasan pada running test tanpa vegetasi

No.	Waktu (detik)	C_s Tvg	C_s Tvg
1	300	0,600	0,600
2	600	0,616	0,437
3	900	0,678	0,758
4	1200	0,630	0,482
5	1500	0,681	0,725
6	1800	0,695	0,641
7	2100	0,720	0,640
8	2400	0,732	0,626
9	2700	0,730	0,630
10	3000	0,731	0,645
11	3300	0,594	0,599
12	3600	0,608	0,728
13	3900	0,603	0,741
14	4200	0,730	0,745
15	4500	0,625	0,650
16	4800	0,608	0,752
17	5100	0,682	0,746
18	5400	0,546	0,749
19	5700	0,637	0,734
20	6000	0,678	0,749
21	6300	0,737	0,746
22	6600	0,747	0,749
23	6900	0,747	0,752
24	7200	0,744	0,752
25	7500	0,754	0,743
26	7800	0,751	0,734
27	8100	0,747	0,743
28	8400	0,747	0,737
29	8700	0,747	0,752

Tabel 8. Koefisien limpasan pada ruang lingkup no. 1 tanpa vegetasi (tabel tangutan)

No.	Waktu	$C_{s,Tvg}$	$C_{s,Tvg}$
	(detik)		
30	9000	0,744	0,752
31	9300	0,737	0,743
32	9600	0,741	0,743
33	9900	0,741	0,749
34	10200	0,741	0,749
35	10500	0,698	0,781
36	10800	0,699	0,758
37	11100	0,699	0,758
C tersebar		0,754	0,758
Rata-rata		0,660	0,698



Gambar 6. Hubungan intensitas dan koefisien limpasan pada ruang lingkup no. 1 tanpa vegetasi

Debit limpasan ($Q_{s,Tvg}$) ditulung menggunakan persamaan (3). Urutan perhitungan dapat dilihat pada lampiran B.

Tabel 9. Debu Impasan dengan metode Rational untuk intensitas 7

No.	Waktu (menit)	$C_1 T_{tg}$	T_2 (m/detik)	A (m ²)	$Q_{tg} T_{tg}$ (m ³ /detik)
1	300	0,000	0,00080	1,2	0,0000000
2	600	0,216	0,00080	1,2	0,0002067
3	900	0,678	0,00080	1,2	0,0006500
4	1200	0,330	0,00080	1,2	0,0003167
5	1500	0,661	0,00080	1,2	0,0006333
6	1800	0,695	0,00080	1,2	0,0006667
7	2100	0,730	0,00080	1,2	0,0007000
8	2400	0,757	0,00080	1,2	0,0007067
9	2700	0,730	0,00080	1,2	0,0007000
10	3000	0,534	0,00080	1,2	0,0004750
11	3300	0,534	0,00080	1,2	0,0004750
12	3600	0,658	0,00080	1,2	0,0005833
13	3900	0,695	0,00080	1,2	0,0006667
14	4200	0,721	0,00080	1,2	0,0007167
15	4500	0,734	0,00080	1,2	0,0007167
16	4800	0,744	0,00080	1,2	0,0007167
17	5100	0,744	0,00080	1,2	0,0007167
18	5400	0,748	0,00080	1,2	0,0007167
19	5700	0,747	0,00080	1,2	0,0007167
20	6000	0,678	0,00080	1,2	0,0006500
21	6300	0,749	0,00080	1,2	0,0007167
22	6600	0,747	0,00080	1,2	0,0007167
23	6900	0,747	0,00080	1,2	0,0007167
24	7200	0,744	0,00080	1,2	0,0007133
25	7500	0,754	0,00080	1,2	0,0007233
26	7800	0,751	0,00080	1,2	0,0007200
27	8100	0,747	0,00080	1,2	0,0007167
28	8400	0,747	0,00080	1,2	0,0007167
29	8700	0,747	0,00080	1,2	0,0007167
30	9000	0,744	0,00080	1,2	0,0007133
31	9300	0,737	0,00080	1,2	0,0007167
32	9600	0,741	0,00080	1,2	0,0007167
33	9900	0,741	0,00080	1,2	0,0007167
34	10200	0,741	0,00080	1,2	0,0007167
35	10500		0,00080	1,2	0,0000000
36	10800		0,00080	1,2	0,0000000
37	11100		0,00080	1,2	0,0000000
Jumlah					0,0215167
Rata-Rata					0,0006328

Tabel 10. Debit limpasan dengan metode Rastional untuk intensitas 15

No.	Waktu (detik)	C _s T _{tg}	I _S (m/detik)	A (m ²)	Q _{ws} T _{tg} (m ³ /detik)
1	300	0,000	0,00095	1,2	0,0000000
2	600	0,437	0,00095	1,2	0,0005000
3	900	0,758	0,00095	1,2	0,0008667
4	1200	0,452	0,00095	1,2	0,0005167
5	1500	0,728	0,00095	1,2	0,0008333
6	1800	0,641	0,00095	1,2	0,0007333
7	2100	0,746	0,00095	1,2	0,0008533
8	2400	0,698	0,00095	1,2	0,0006933
9	2700	0,629	0,00095	1,2	0,0008000
10	3000	0,743	0,00095	1,2	0,0008500
11	3300	0,699	0,00095	1,2	0,0008000
12	3600	0,729	0,00095	1,2	0,0008533
13	3900	0,743	0,00095	1,2	0,0008567
14	4200	0,743	0,00095	1,2	0,0008567
15	4500	0,656	0,00095	1,2	0,0007567
16	4800	0,753	0,00095	1,2	0,0008567
17	5100	0,636	0,00095	1,2	0,0008433
18	5400	0,740	0,00095	1,2	0,0008533
19	5700	0,743	0,00095	1,2	0,0008400
20	6000	0,749	0,00095	1,2	0,0008567
21	6300	0,746	0,00095	1,2	0,0008500
22	6600	0,750	0,00095	1,2	0,0008567
23	6900	0,752	0,00095	1,2	0,0008600
24	7200	0,752	0,00095	1,2	0,0008600
25	7500	0,743	0,00095	1,2	0,0008500
26	7800	0,734	0,00095	1,2	0,0008400
27	8100	0,743	0,00095	1,2	0,0008500
28	8400	0,737	0,00095	1,2	0,0008433
29	8700	0,752	0,00095	1,2	0,0008600
30	9000	0,752	0,00095	1,2	0,0008600
31	9300	0,743	0,00095	1,2	0,0008500
32	9600	0,743	0,00095	1,2	0,0008500
33	9900	0,749	0,00095	1,2	0,0008567
34	10200	0,749	0,00095	1,2	0,0008567
35	10500	0,752	0,00095	1,2	0,0008600
36	10800	0,758	0,00095	1,2	0,0008667
37	11100	0,758	0,00095	1,2	0,0008667
Jumlah					0,0295367
Rata-Rata					0,0007983



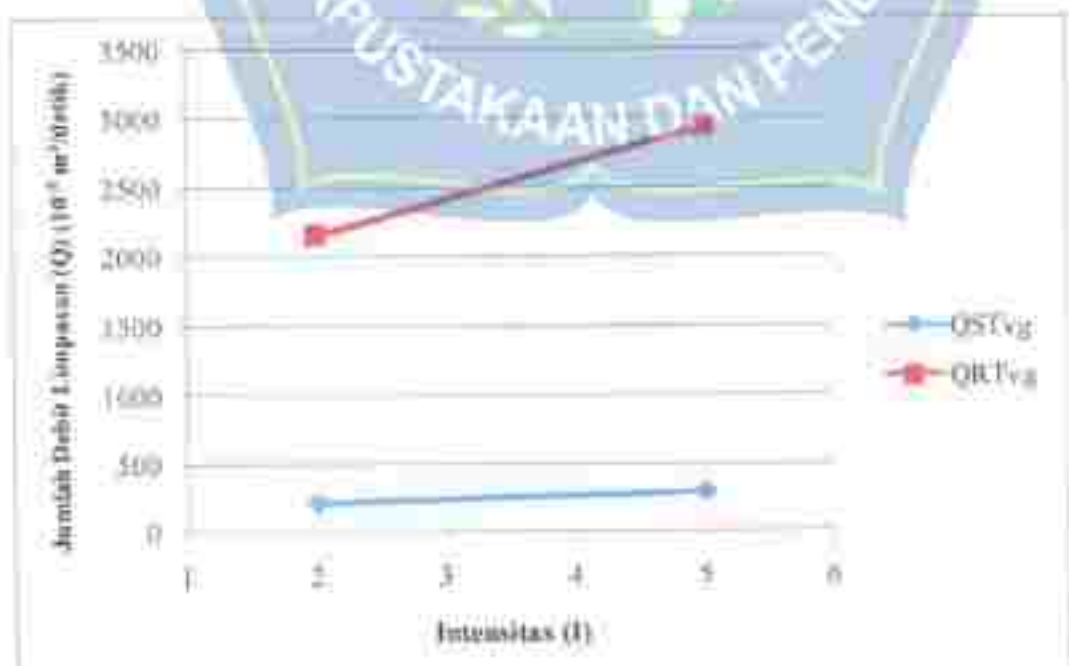
Gambar 7: Hubungan antara waktu dan debit impangan pada Bioreactor zatring 6001 tanpa vegetasi

Tabel 11. Debit impangan akhirnya 12 jam 15 dengan metode Zatring dan metode Rancangan ganda untuk 1. v. 1 tanpa vegetasi

No.	Waktu (menit)	$Q_{12\text{jam}}$ mm/m²/menit	$Q_{12\text{jam}}$ mm/m²/menit	$Q_{12\text{jam}}$ mm/m²/menit	$Q_{12\text{jam}}$ mm/m²/menit
1	300	0.00	0.00	0.00	0.00
2	600	2.07	2.00	20.00	20.00
3	900	6.50	5.67	55.00	55.57
4	1200	9.17	8.50	85.67	85.67
5	1500	6.50	8.53	65.33	85.33
6	1500	6.67	7.33	66.67	75.33
7	2100	7.00	8.53	70.00	85.33
8	2400	7.07	6.93	70.67	69.33
9	2700	7.00	8.00	70.00	80.00
10	3000	7.00	8.50	70.00	85.00
11	3300	4.03	8.00	48.33	80.00
12	3600	5.83	8.33	58.33	85.33
13	3900	5.67	8.50	66.67	85.00
14	4200	7.00	8.50	70.00	85.00
15	4500	6.67	7.50	66.67	75.00
16	4800	5.83	8.60	58.33	86.00
17	5100	6.67	8.53	66.67	85.33
18	5400	5.23	8.57	52.57	85.67
19	5700	7.17	8.60	71.67	84.00
20	6000	6.50	8.57	65.00	85.67

Tabel 11. Debit Jimpasan intensitas 12 dan 15 dengan *rainfall simulator* dan metode Rasional pada *runoff test* 1 tanpa vegetasi (tabel lanjutan)

No.	Waktu (detik)	Q_{STVg} ($10^3 \text{ m}^3/\text{detik}$)	Q_{RTVg} ($10^3 \text{ m}^3/\text{detik}$)	Q_{R2TVg} ($10^3 \text{ m}^3/\text{detik}$)	Q_{RTTVg} ($10^3 \text{ m}^3/\text{detik}$)
21	6300	7,07	8,55	70,67	85,33
22	6600	7,17	8,57	71,67	85,67
23	6900	7,17	8,60	71,67	85,00
24	7200	7,13	8,60	71,67	85,00
25	7500	7,23	8,50	72,00	85,00
26	7800	7,20	8,40	72,00	84,00
27	8100	7,17	8,36	72,67	85,00
28	8400	7,17	8,43	71,67	84,33
29	8700	7,12	8,67	71,67	85,00
30	9000	7,13	8,50	71,33	85,00
31	9300	7,07	8,50	70,67	85,00
32	9600	7,10	8,50	71,00	85,00
33	9900	7,10	8,52	71,00	85,67
34	10200	7,11	8,57	71,00	85,67
35	10500	7,10	8,60	70,67	86,00
36	10800	7,07	8,57	69,33	86,67
37	11100	7,00	8,57	69,00	86,67
Jumlah		245,17	295,37	2151,67	2253,67
Rata-rata		6,33	7,98	56,18	59,83
Q Maks		7,23	8,67	72,33	86,67



Gambar 8. Jumlah debit jimpasan intensitas 12 dan 15 dengan *rainfall simulator* dan metode Rasional pada *runoff test* 1 tanpa vegetasi

C. Debit Limpasan Running Test 2 dengan Vegetasi Mangga

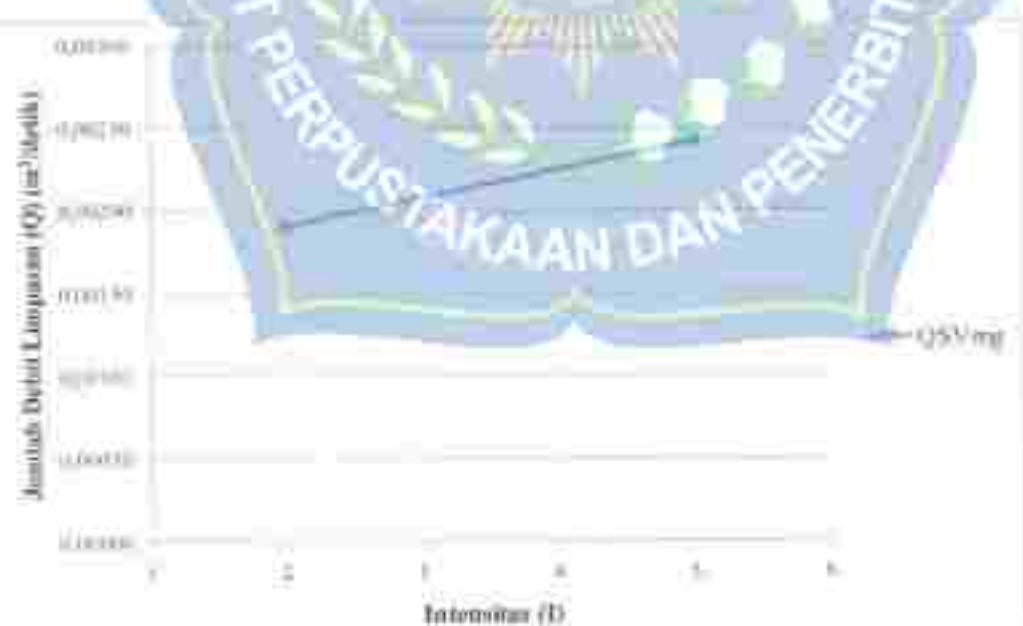
Tabel di bawah ini memperjukkan debit limpasan pada Running Test 2 dengan vegetasi mangga yang diamati trap 5 meski sampai limpasan dianggap konstan. Debit limpasan Q_{Limpas} dilihat menggunakan persamaan (2). Uraian perhitungan dapat dilihat pada lampiran B.

Tabel 12 Debit limpasan dengan rata-rata nilai V_{Vmg} dan ΔV_{Vmg} vegetasi mangga

No.	Waktu (detik)	V_{Vmg} (m^3)	ΔV_{Vmg} (m^3)	D_{Limpas} (m^2/detik)	Q_{Limpas} (m^3/detik)
1	300	0,000	0,000	0,000000	0,000000
2	600	0,006	0,006	0,000000	0,000013
3	900	0,014	0,014	0,0000468	0,0000470
4	1200	0,016	0,020	0,0000480	0,0000640
5	1500	0,017	0,029	0,0000540	0,0000877
6	1800	0,018	0,018	0,0000592	0,0000860
7	2100	0,018	0,021	0,0000583	0,0000870
8	2400	0,018	0,020	0,0000583	0,0000863
9	2700	0,017	0,021	0,0000560	0,0000897
10	3000	0,018	0,021	0,0000550	0,0000879
11	3300	0,017	0,021	0,0000560	0,0000873
12	3600	0,018	0,021	0,0000560	0,00008620
13	3900	0,018	0,021	0,0000583	0,00008693
14	4200	0,018	0,021	0,0000590	0,00008683
15	4500	0,018	0,021	0,0000600	0,00008690
16	4800	0,018	0,019	0,0000583	0,00008637
17	5100	0,017	0,021	0,0000560	0,00008683
18	5400	0,017	0,021	0,0000550	0,00008697
19	5700	0,017	0,021	0,0000550	0,00008700
20	6000	0,016	0,021	0,0000533	0,00008700
21	6300	0,017	0,020	0,0000557	0,00008677
22	6600	0,018	0,021	0,0000583	0,00008707
23	6900	0,018	0,021	0,0000590	0,00008700
24	7200	0,017	0,021	0,0000577	0,00008700

Tabel 12. Debit impasian dengan *rainfall simulator running test* 2 vegetasi mangga (tabel lanjutan)

No.	Waktu (detik)	V_2V_{mg} (m ³)	V_4V_{mg} (m ³)	$Q_{s2}V_{mg}$ (m ³ /detik)	$Q_{s4}V_{mg}$ (m ³ /detik)
25	7500	0,017	0,021	0,0000557	0,0000690
26	7800	0,017	0,021	0,0000573	0,0000710
27	8100	0,018	0,021	0,0000583	0,0000707
28	8400	0,017	0,021	0,0000580	0,0000707
29	8700	0,017	0,021	0,0000587	0,0000717
30	9000	0,017	0,021	0,0000587	0,0000713
31	9300	0,017	0,022	0,0000573	0,0000717
32	9600	0,017	0,021	0,0000573	0,0000710
33	9900	0,017	0,021	0,0000567	0,0000707
34	10200	0,017	0,021	0,0000567	0,0000707
35	10500	0,017	0,022	0,0000567	0,0000717
36	10800	0,010	0,022	0,0000585	0,0000717
37	11100	0,009	0,022	0,0000589	0,0000717
Jumlah		0,571	0,726	0,0019023	0,0024173
Rata-rata		0,015	0,019	0,0000514	0,0000650



Gambar 9. Hubungan intensitas dan debit impasian *rainfall simulator running test* 2 vegetasi mangga.

Untuk menghitung koefisien impasian C_{Vmg} digunakan persamaan (4).

Carian perhitungan koefisien impasian dapat dilihat pada lampiran B.

Tabel 13. Koefisien impasian pada rumput set 2 vegetasi mangga

No.	Waktu (detik)	C_2Vmg	C_3Vmg
1	300	0,000	0,000
2	600	0,209	0,186
3	900	0,490	0,411
4	1200	0,563	0,568
5	1500	0,505	0,591
6	1800	0,619	0,524
7	2100	0,695	0,612
8	2400	0,519	0,580
9	2700	0,584	0,618
10	3000	0,618	0,531
11	3300	0,626	0,624
12	3600	0,626	0,541
13	3900	0,608	0,636
14	4200	0,615	0,597
15	4500	0,626	0,602
16	4800	0,608	0,557
17	5100	0,584	0,592
18	5400	0,574	0,609
19	5700	0,594	0,611
20	6000	0,556	0,612
21	6300	0,581	0,591
22	6600	0,608	0,618
23	6900	0,615	0,612
24	7200	0,621	0,612
25	7500	0,581	0,603
26	7800	0,598	0,621
27	8100	0,608	0,618
28	8400	0,605	0,618
29	8700	0,591	0,618
30	9000	0,591	0,624
31	9300	0,598	0,626
32	9600	0,598	0,612
33	9900	0,591	0,618
34	10200	0,591	0,618
35	10500	0,591	0,626
36	10800	0,000	0,626
37	11100	0,000	0,626
$C_{tertinggi}$		0,626	0,626
Rata-rata		0,536	0,572



Gambar 10. Hubungan antara dan koefisien Manning pada rasio lebar permukaan air/vegetasi mangrove

Diketahui impasian 12 cm yang dimiliki mengalihkan persamaan (3) jadi dalam perhitungan digunakan dilihui pada lampiran 6.

Tabel 14. Debit Impasian Air dan menjelaskan Rasio lebar permukaan air/vegetasi mangrove

No.	Waktu (detik)	C _{Vmg}	$\frac{W}{L}$ (m/detik)	A (m ²)	Q _{Vmg} (m ³ /detik)
1	300	0,199	0,00090	1,2	0,0000000
2	600	0,209	0,00080	1,2	0,0002000
3	900	0,480	0,00080	1,2	0,0004600
4	1200	0,563	0,00080	1,2	0,0005400
5	1500	0,605	0,00080	1,2	0,0005800
6	1800	0,619	0,00080	1,2	0,0005933
7	2100	0,608	0,00080	1,2	0,0005833
8	2400	0,619	0,00080	1,2	0,0005933
9	2700	0,554	0,00080	1,2	0,0005600
10	3000	0,608	0,00080	1,2	0,0005833
11	3300	0,626	0,00080	1,2	0,0006000

Tabel 14. Debit lampasan dengan metode Rasionil untuk intensitas 12 vegetasi mangga (tabel lanjutan)

No.	Waktu (detik)	C_2Vmg	$E2$ (m/detik)	A (m ²)	$Q_{R2}Vmg$ (m ³ /detik)
12	3600	0,626	0,00080	1,2	0,0006000
13	3900	0,608	0,00080	1,2	0,0005833
14	4200	0,515	0,00080	1,2	0,0005900
15	4500	0,520	0,00080	1,2	0,0006000
16	4800	0,501	0,00080	1,2	0,0005833
17	5100	0,454	0,00080	1,2	0,0005600
18	5400	0,513	0,00080	1,2	0,0005833
19	5700	0,574	0,00080	1,2	0,0005867
20	6000	0,556	0,00080	1,2	0,0005733
21	6300	0,581	0,00080	1,2	0,0005867
22	6600	0,608	0,00080	1,2	0,0005833
23	6900	0,615	0,00080	1,2	0,0005833
24	7200	0,501	0,00080	1,2	0,0005733
25	7500	0,581	0,00080	1,2	0,0005867
26	7800	0,594	0,00080	1,2	0,0005733
27	8100	0,608	0,00080	1,2	0,0005833
28	8400	0,615	0,00080	1,2	0,0005833
29	8700	0,591	0,00080	1,2	0,0005667
30	9000	0,591	0,00080	1,2	0,0005667
31	9300	0,598	0,00080	1,2	0,0005733
32	9600	0,598	0,00080	1,2	0,0005733
33	9900	0,591	0,00080	1,2	0,0005667
34	10200	0,591	0,00080	1,2	0,0005667
35	10500	0,591	0,00080	1,2	0,0005667
36	10800	0,000	0,00080	1,2	0,0000000
37	11100	0,000	0,00080	1,2	0,0000000
Jumlah					0,0190233
Rata-Rata					0,0005141

Tabel 15. Debit limpasan dengan metode Rational untuk intensitas 15 vegetasi mangga

No.	Waktu (detik)	C _s Vmg	15 (m/detik)	A (m ²)	Q _s Vmg (m ³ /detik)
1	300	0,000	0,00095	1,2	0,0000000
2	600	0,186	0,00095	1,2	0,0002133
3	900	0,411	0,00095	1,2	0,0004700
4	1200	0,568	0,00095	1,2	0,0006500
5	1500	0,491	0,00095	1,2	0,0006267
6	1800	0,224	0,00095	1,2	0,0006000
7	2100	0,612	0,00095	1,2	0,0007000
8	2400	0,520	0,00095	1,2	0,0006667
9	2700	0,609	0,00095	1,2	0,0006967
10	3000	0,621	0,00095	1,2	0,0007100
11	3300	0,024	0,00095	1,2	0,0007133
12	3600	0,542	0,00095	1,2	0,0006900
13	3900	0,506	0,00095	1,2	0,0006933
14	4200	0,507	0,00095	1,2	0,0006833
15	4500	0,603	0,00095	1,2	0,0006900
16	4800	0,557	0,00095	1,2	0,0006867
17	5100	0,597	0,00095	1,2	0,0006933
18	5400	0,619	0,00095	1,2	0,0006967
19	5700	0,612	0,00095	1,2	0,0006900
20	6000	0,612	0,00095	1,2	0,0006900
21	6300	0,501	0,00095	1,2	0,00068767
22	6600	0,618	0,00095	1,2	0,0006967
23	6900	0,612	0,00095	1,2	0,0006900
24	7200	0,612	0,00095	1,2	0,0006900
25	7500	0,693	0,00095	1,2	0,0006900
26	7800	0,621	0,00095	1,2	0,0006967
27	8100	0,618	0,00095	1,2	0,0006967
28	8400	0,618	0,00095	1,2	0,0006967
29	8700	0,618	0,00095	1,2	0,0006967
30	9000	0,624	0,00095	1,2	0,0007133
31	9300	0,626	0,00095	1,2	0,0007167
32	9600	0,612	0,00095	1,2	0,0007000
33	9900	0,618	0,00095	1,2	0,0007067
34	10200	0,618	0,00095	1,2	0,0007067
35	10500	0,628	0,00095	1,2	0,0007167
36	10800	0,628	0,00095	1,2	0,0007167
37	11100	0,656	0,00095	1,2	0,0007167
Jumlah					0,0241933
Rata-Rata					0,0006539



Gambar 11. Hubungan antara waktu dengan jumlah impangan (Rasional) dan 2 vegetasi (real)

Tabel 16. Debit impangan akibat tindakan manusia (rasional) dan metode Rasional pada rasio=0,51 2 vegetasi rumput

No.	Waktu (detik)	Q_{aVmg} ($10^{-3} \text{ m}^3/\text{detik}$)	Q_{aVmp} ($10^{-3} \text{ m}^3/\text{detik}$)	Q_{aVmp} ($10^{-3} \text{ m}^3/\text{detik}$)	Q_{aVmp} ($10^{-3} \text{ m}^3/\text{detik}$)
		($10^{-3} \text{ m}^3/\text{detik}$)			
1	200	0,00	0,00	0,00	0,00
2	600	2,00	2,13	20,00	21,33
3	900	4,00	4,26	40,00	42,67
4	1200	5,40	6,50	54,00	65,00
5	1500	5,80	6,77	58,00	67,67
6	1800	5,93	6,90	59,33	69,00
7	2100	5,83	7,00	58,33	70,00
8	2400	5,93	6,63	59,33	66,33
9	2700	5,60	6,97	56,00	69,67
10	3000	5,83	7,10	58,33	71,00
11	3300	6,00	7,13	60,00	71,33
12	3600	6,00	6,70	60,00	62,00
13	3900	5,83	6,93	58,33	69,33

Tabel 16 Debit limpasan micromes 12 dan 13 dengan rainfall simulator dan metode Rasional pada rumah tangga vegetasi mangga (tabel lanjutan)

No.	Waktu (detik)	$Q_{S1}Vmrg$ ($10^3 \text{ m}^3/\text{detik}$)	$Q_{S2}Vmrg$ ($10^3 \text{ m}^3/\text{detik}$)	$Q_{S3}Vmrg$ ($10^3 \text{ m}^3/\text{detik}$)	$Q_{S4}Vmrg$ ($10^3 \text{ m}^3/\text{detik}$)
14	4200	5,90	6,53	50,00	68,33
15	4500	6,00	6,90	50,00	69,00
16	4800	5,83	6,37	53,33	63,67
17	5100	5,60	6,83	56,00	68,33
18	5400	5,50	6,97	57,00	69,67
19	5700	5,50	7,00	58,00	70,00
20	6000	5,21	7,07	59,33	70,00
21	6300	5,47	7,17	55,67	71,67
22	6600	5,83	7,07	58,33	70,67
23	6900	5,00	7,00	59,00	70,00
24	7200	5,27	7,00	57,67	70,00
25	7500	5,53	6,90	55,67	69,00
26	7800	5,73	7,10	57,33	71,00
27	8100	7,00	7,07	58,33	70,67
28	8400	5,80	7,07	58,00	70,67
29	8700	5,67	7,07	55,67	70,67
30	9000	5,67	7,13	56,67	71,33
31	9300	5,73	7,17	57,33	71,67
32	9600	5,73	7,00	57,33	70,00
33	9900	5,67	7,07	56,67	70,67
34	10200	5,67	7,07	56,67	70,67
35	10500	5,67	7,17	56,67	71,67
36	10800	0,00	7,17	0,00	71,67
37	11100	0,00	7,17	0,00	71,67
Jumlah		190,23	241,93	1902,33	2419,33
Rata-rata		5,14	6,54	51,41	65,39
Q Maks		6,00	7,17	60,00	71,67



Gambar 12. Jumlah debit limpasan (Q) (10³ m³/detik) dan metode Rasio Vbm pada lahan tanah dengan vegetasi bambu menggunakan metode QSvbm dan metode ORVbm.

D. Debit Limpasan Gunung Teer 3 dengan Vegetasi Bambu

Tabel di bawah ini merupakan debit limpasan pada gunung teer 3 dengan vegetasi bambu yang dimana data 5 sampel sampai limpasan dimulai konstan. Debit limpasan QsVbm ditunjukkan menggunakan persamaan 2. Untuk perhitungan dapat dilihat pada lampiran B.

Tabel 17. Debit limpasan dengan *rainfall simulation* gunung teer 3 vegetasi bambu

No.	Waktu (detik)	V_2Vbm	V_3Vbm	Q_2Vbm	Q_3Vbm
		(m ³)	(m ³)	(m ³ /detik)	(m ³ /detik)
1.	300	0,0000	0,0000	0,0000000	0,0000000
2.	600	0,0065	0,0073	0,0000217	0,0000243
3.	900	0,0171	0,0208	0,0000570	0,0000695
4.	1200	0,0170	0,0174	0,0000567	0,0000580
5.	1500	0,0178	0,0202	0,0000593	0,0000673

Tabel 17. Debit impasan dengan rainfall simulator running test 3 vegetasi bambu (tabel lanjutan)

No.	Waktu (detik)	V ₂ Vbm (m ³)	V ₃ Vlm (m ³)	Q _{s2} Vlm (m ³ /detik)	Q _{s3} Vlm (m ³ /detik)
6	1800	0,0178	0,0199	0,0000593	0,0000663
7	2100	0,0175	0,0201	0,0000583	0,0000671
8	2400	0,0146	0,0204	0,0000487	0,0000680
9	2700	0,0372	0,0176	0,0000573	0,0000587
10	3000	0,0170	0,0209	0,0000567	0,0000667
11	3300	0,0375	0,0205	0,0000553	0,0000653
12	3600	0,0175	0,0205	0,0000583	0,0000683
13	3900	0,0171	0,0204	0,0000570	0,0000680
14	4200	0,0170	0,0206	0,0000567	0,0000682
15	4500	0,0178	0,0209	0,0000593	0,0000697
16	4800	0,0179	0,0207	0,0000591	0,0000691
17	5100	0,0172	0,0206	0,0000577	0,0000687
18	5400	0,0173	0,0211	0,0000577	0,0000703
19	5700	0,0177	0,0204	0,0000569	0,0000685
20	6000	0,0179	0,0206	0,0000593	0,0000687
21	6300	0,0175	0,0204	0,0000585	0,0000680
22	6600	0,0175	0,0210	0,0000583	0,00006700
23	6900	0,0178	0,0212	0,0000583	0,00006702
24	7200	0,0176	0,0210	0,0000593	0,00006702
25	7500	0,0179	0,0210	0,0000593	0,00006720
26	7800	0,0177	0,0215	0,0000593	0,0000717
27	8100	0,0179	0,0212	0,0000597	0,0000702
28	8400	0,0180	0,0210	0,0000600	0,0000700
29	8700	0,0182	0,0216	0,0000607	0,0000720
30	9000	0,0182	0,0214	0,0000607	0,0000713
31	9300	0,0178	0,0211	0,0000593	0,0000703
32	9600	0,0178	0,0215	0,0000593	0,0000717
33	9900	0,0178	0,0217	0,0000593	0,0000723
34	10200	0,000	0,0217	0,0000000	0,0000723
35	10500	0,000	0,0217	0,0000000	0,0000723
Jumlah		0,549	0,690	0,0018313	0,0022997
Rata-rata		0,017	0,020	0,0000555	0,0000657



Gambar 15. Hubungan antara waktu dan debit limpasan minimal untuk pertumbuhan 3 vegetasi bambu.

Untuk memperbaiki koefisien limpasan CVbm digunakan persamaan 143.

Untuk perhitungan koefisien limpasan dapat dilihat pada lampiran II.

Tabel 18. Koefisien limpasan pada tumbuhan bambu.

No.	Waktu (detik)	CVbm	
		CVbm	CVbm
1	300	0,090	0,009
2	600	0,226	0,213
3	900	0,595	0,606
4	1200	0,591	0,597
5	1500	0,519	0,589
6	1800	0,619	0,580
7	2100	0,608	0,586
8	2400	0,508	0,594
9	2700	0,598	0,513
10	3000	0,591	0,383

Tabel 18. Koefisien timpasan pada rumpun ket 3 vegetasi bambu (tabel lanjutan)

No.	Waktu (detik)	C_{2Vbm}		C_{3Vbm}	
		C_{2Vbm}	C_{3Vbm}	C_{2Vbm}	C_{3Vbm}
11	3300	0,608		0,597	
12	3600	0,608		0,597	
13	3900	0,594		0,594	
14	4200	0,591		0,600	
15	4500	0,619		0,609	
16	4800	0,622		0,613	
17	5100	0,601		0,600	
18	5400	0,601		0,615	
19	5700	0,603		0,607	
20	6000	0,622		0,609	
21	6300	0,608		0,614	
22	6600	0,608		0,613	
23	6900	0,610		0,613	
24	7200	0,610		0,615	
25	7500	0,621		0,620	
26	7800	0,615		0,626	
27	8100	0,611		0,618	
28	8400	0,626		0,612	
29	8700	0,635		0,629	
30	9000	0,633		0,624	
31	9300	0,619		0,615	
32	9600	0,619		0,628	
33	9900	0,619		0,632	
34	10200	0,600		0,632	
35	10500	0,000		0,632	
C tertinggi		0,633		0,632	
Rata-rata		0,546		0,574	



Gambar 14. Hubungan keterikat air dengan laju limpasan pada tanah tanpa vegetasi bambu

Debit limpasan (Q_e) Vbm diketahui menggunakan persamaan (3). Untuk perhitungan dapat dilihat pada Tabel 19.

Tabel 19. Debit limpasan dengan metode Raman untuk tanah tanpa vegetasi bambu

No.	Waktu (detik)	C_e Vbm	A_e (m ² /detik)	θ_e (m ³)	Q_e Vbm
1	300	0,000	0,00080	1,2	0,0000000
2	600	0,226	0,00080	1,2	0,0002167
3	900	0,593	0,00080	1,2	0,0005700
4	1200	0,591	0,00080	1,2	0,0005667
5	1500	0,619	0,00080	1,2	0,0005933
6	1800	0,619	0,00080	1,2	0,0005933
7	2100	0,608	0,00080	1,2	0,0005833
8	2400	0,508	0,00080	1,2	0,0004867
9	2700	0,508	0,00080	1,2	0,0005733
10	3000	0,591	0,00080	1,2	0,0005667
11	3300	0,608	0,00080	1,2	0,0005833

Tabel 19. Debit impasian dengan metode Rasional untuk intensitas 12 vegetasi bambu (tabel lanjutan)

No.	Waktu (detik)	$C_2 Vbm$	12	A	$Q_{de} Vbm$
			(m/detik)	(m ²)	(m ³ /detik)
12	3600	0,608	0,00080	1,2	0,0005833
13	3900	0,595	0,00080	1,2	0,0005700
14	4200	0,591	0,00080	1,2	0,0005667
15	4500	0,619	0,00080	1,2	0,0005933
16	4800	0,617	0,00080	1,2	0,0005900
17	5100	0,621	0,00080	1,2	0,0005767
18	5400	0,601	0,00080	1,2	0,0005767
19	5700	0,623	0,00080	1,2	0,0005900
20	6000	0,622	0,00080	1,2	0,0005900
21	6300	0,608	0,00080	1,2	0,0005833
22	6600	0,604	0,00080	1,2	0,0005833
23	6900	0,618	0,00080	1,2	0,0005933
24	7200	0,618	0,00080	1,2	0,0005933
25	7500	0,622	0,00080	1,2	0,0005900
26	7800	0,615	0,00080	1,2	0,0005900
27	8100	0,623	0,00080	1,2	0,0005900
28	8400	0,626	0,00080	1,2	0,0005900
29	8700	0,630	0,00080	1,2	0,0006000
30	9000	0,653	0,00080	1,2	0,0006067
31	9300	0,619	0,00080	1,2	0,0005933
32	9600	0,619	0,00080	1,2	0,0005933
33	9900	0,619	0,00080	1,2	0,0005933
34	10200		0,00080	1,2	
Jumlah					0,0183133
Rata-Rata					0,0005549

Tabel 20. Debit impasian dengan metode Rasional untuk intensitas 15 vegetasi bambu

No.	Waktu (detik)	$C_2 Vbm$	15	A	$Q_{de} Vbm$
			(m/detik)	(m ²)	(m ³ /detik)
1	300	0,000	0,00095	1,2	0,0006000
2	600	0,213	0,00095	1,2	0,0002433
3	900	0,506	0,00095	1,2	0,0006933
4	1200	0,507	0,00095	1,2	0,0006900
5	1500	0,589	0,00095	1,2	0,0006733

Tabel 20. Debit Imparitas dengan metode Rasioal untuk intensitas 15 vegetasi bambu (tabel lanjutan)

No.	Waktu (detik)	CsVbm	15	A	Qs3Vbm
			(m/detik)	(m ²)	(m ³ /detik)
6	1800	0,580	0,00095	1,2	0,0006653
7	2100	0,586	0,00095	1,2	0,0006700
8	2400	0,594	0,00095	1,2	0,0006800
9	2700	0,513	0,00095	1,2	0,0005867
10	3000	0,581	0,00095	1,2	0,0006667
11	3300	0,597	0,00095	1,2	0,0006833
12	3600	0,597	0,00095	1,2	0,0006833
13	3900	0,594	0,00095	1,2	0,0006800
14	4200	0,600	0,00095	1,2	0,0006867
15	4500	0,619	0,00095	1,2	0,0006967
16	4800	0,602	0,00095	1,2	0,0006867
17	5100	0,610	0,00095	1,2	0,0006967
18	5400	0,615	0,00095	1,2	0,0006967
19	5700	0,697	0,00095	1,2	0,0006833
20	6000	0,686	0,00095	1,2	0,0006867
21	6300	0,693	0,00095	1,2	0,0006867
22	6600	0,612	0,00095	1,2	0,0006700
23	6900	0,615	0,00095	1,2	0,00067067
24	7200	0,618	0,00095	1,2	0,00067067
25	7500	0,629	0,00095	1,2	0,00067200
26	7800	0,676	0,00095	1,2	0,00067167
27	8100	0,618	0,00095	1,2	0,00067067
28	8400	0,612	0,00095	1,2	0,00067000
29	8700	0,629	0,00095	1,2	0,00067200
30	9000	0,624	0,00095	1,2	0,00067133
31	9300	0,615	0,00095	1,2	0,00067067
32	9600	0,626	0,00095	1,2	0,00067167
33	9900	0,632	0,00095	1,2	0,00067233
34	10200	0,632	0,00095	1,2	0,00067233
35	10500	0,632	0,00095	1,2	0,00067233
Jumlah					0,0229967
Rata-Rata					0,0006570



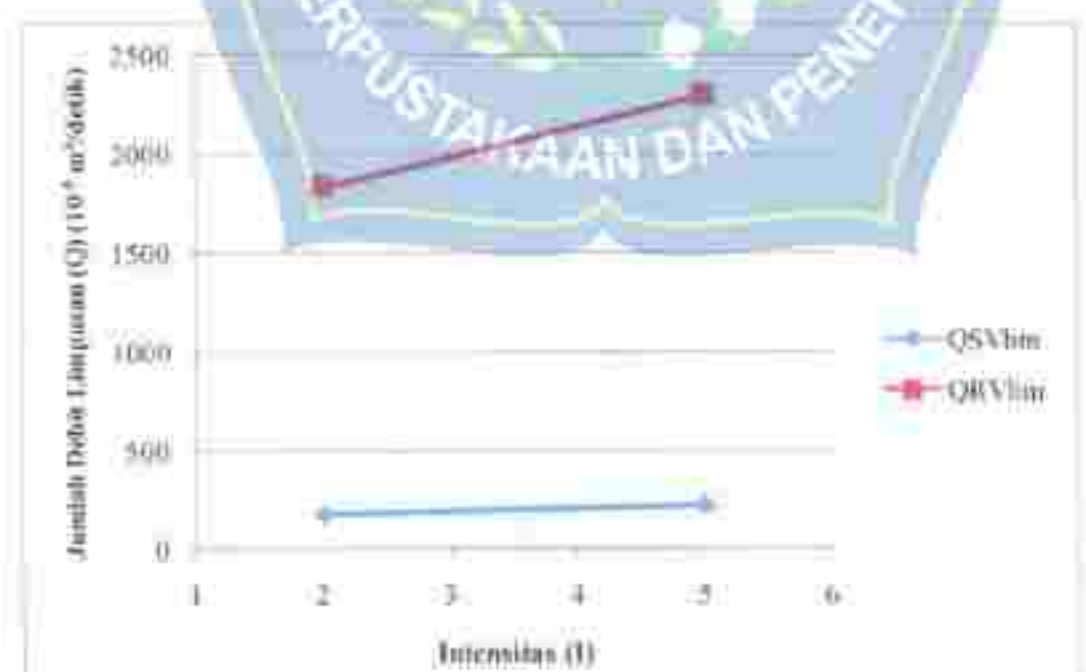
Gambar 15. Hubungan antara durasi hujan dengan metoda Rassoul dengan 3 vegetasi bambu

Tabel 21. Debit impianis infiltrasi Q_s dan 15 detik untuk empat kondisi dan metode Rassoul pada t = 6000 s di 3 vegetasi bambu

No.	Waktu (detik)	Q_s Vbm	Q_s Vbm	Q_s Vbm	Q_s Vbm
		(10^-3 m/detik)	(10^-3 m/detik)	(10^-3 m/detik)	(10^-3 m/detik)
1	300	0.00	0.00	0.00	0.00
2	600	2.87	2.83	2.83	24.33
3	900	5.73	5.93	5.93	69.33
4	1200	8.60	8.80	8.80	88.00
5	1500	11.47	11.73	11.73	107.33
6	1800	14.33	14.67	14.67	126.67
7	2100	17.20	17.53	17.53	146.00
8	2400	19.07	19.40	19.40	165.33
9	2700	20.93	21.27	21.27	184.67
10	3000	22.80	23.13	23.13	204.00
11	3300	24.67	25.00	25.00	223.33
12	3600	26.53	26.87	26.87	242.67
13	3900	28.40	28.73	28.73	262.00
14	4200	29.27	29.60	29.60	281.33
15	4500	31.13	31.47	31.47	300.67
16	4800	33.00	33.33	33.33	320.00
17	5100	34.87	35.20	35.20	339.33
18	5400	36.73	37.07	37.07	358.67
19	5700	38.60	38.93	38.93	378.00
20	6000	40.47	40.80	40.80	397.33

Tabel 21. Debit Impasian intensitas 12 dan 15 dengan *rainfall simulate* dan metode Rasionil pada *runoff test 3* vegetasi bambu (tabel lanjutan)

No.	Waktu (detik)	$Q_{Sv}Vbm$	$Q_{Rv}Vbm$	Q_{R2Vbm}	Q_{R3Vbm}
		($10^{-3} \text{ m}^3/\text{detik}$)			
21	6300	5,83	6,80	58,33	68,00
22	6600	5,83	7,00	58,33	70,00
23	6900	5,93	7,07	59,33	70,67
24	7200	5,93	7,07	59,33	70,67
25	7500	5,97	7,20	59,67	72,00
26	7800	5,96	7,17	59,00	71,67
27	8100	5,97	7,17	59,00	71,67
28	8400	5,90	7,00	59,00	70,00
29	8700	5,90	7,00	59,00	70,00
30	9000	5,87	7,03	59,57	71,33
31	9300	5,93	7,07	59,33	70,33
32	9600	5,93	7,07	59,33	70,67
33	9900	5,93	7,23	59,33	70,67
34	10200	6,01	7,23	60,00	72,33
35	10500	6,01	7,23	60,00	72,33
Jumlah		183,13	219,97	1831,33	2299,67
Rata-rata		5,55	6,57	55,49	65,20
Q Max		6,07	7,23	60,00	72,33



Gambar 16. Jumlah debit impasian intensitas 12 dan 15 dengan *rainfall simulate* dan metode Rasionil pada *runoff test 3* vegetasi bambu



Gambar 17. Hubungan antara dan depth limpasan pada hasil run-off 15 (dilakukan dengan metode Rastorni).

Keterangan:

- $Q_{15}Tvg$ = Debit limpasan 15 *rainfall simulator* tanpa vegetasi (m³/detik)
- $Q_{15}Vmg$ = Debit limpasan 15 *rainfall simulator* vegetasi mangga (m³/detik)
- $Q_{15}Vbm$ = Debit limpasan 15 *rainfall simulator* vegetasi bambu (m³/detik)
- $Q_{15}Tvg$ = Debit limpasan 15 *rainfall simulator* tanpa vegetasi (m³/detik)
- $Q_{15}Vmg$ = Debit limpasan 15 *rainfall simulator* vegetasi mangga (m³/detik)
- $Q_{15}Vbm$ = Debit limpasan 15 *rainfall simulator* vegetasi bambu (m³/detik)
- $Q_{12}Tvg$ = Debit limpasan 12 metode Rastorni tanpa vegetasi (m³/detik)
- $Q_{12}Vmg$ = Debit limpasan 12 metode Rastorni vegetasi mangga (m³/detik)
- $Q_{12}Vbm$ = Debit limpasan 12 metode Rastorni vegetasi bambu (m³/detik)
- $Q_{15}Tvg$ = Debit limpasan 15 metode Rastorni tanpa vegetasi (m³/detik)
- $Q_{15}Vmg$ = Debit limpasan 15 metode Rastorni vegetasi mangga (m³/detik)
- $Q_{15}Vbm$ = Debit limpasan 15 metode Rastorni vegetasi bambu (m³/detik)

E. Pengaruh Intensitas Curah Hujan Terhadap Limpasan Permukaan

Dari hasil penelitian diperoleh data yang memperlihatkan bahwa, nilai limpasan permukaan pada tiga intensitas curah hujan dengan berbagai varietas vegetasi yang diukur berdasarkan perhitungan debit limpasan simulator (Q_s) dan metode Rasional (Q_r) menunjukkan perbedaan yang signifikan.

Tabel 22. Jumlah debit limpasan yang ditentukan oleh intensitas pada varietas vegetasi

Intensitas Curah Hujan Periode Limpas	(Intensity)	Jumlah Debit Limpasan		
		($10^3 \text{ m}^3/\text{detik}$)	($10^3 \text{ m}^3/\text{detik}$)	($10^3 \text{ m}^3/\text{detik}$)
Tanpa Vegetasi	Q_s	215,167	190,233	180,123
12	Q_r	215,167	211,523	179,467
Tanpa Vegetasi	Q_s	151,07	160,123	160,123
15	Q_r	151,07	241,033	200,177
Tanpa Vegetasi	Q_s	2,81,67	241,033	200,177
12	Q_r	2,81,67	241,033	200,177



Gambar 18. Hubungan intensitas dan debit limpasan pada varietas vegetasi hasil running test rainfall simulator dan metode Rasional.

Berdasarkan hasil uji *runoff coefficient*, nilai debit limpasan mengalami peningkatan tiap intensitasnya, dimana jumlah debit limpasan yang dihasilkan intensitas curah hujan periode ulang 5 tahun (15) dengan intensitas 6,864 liter/menit lebih besar dari intensitas curah hujan periode ulang 2 tahun (12) dengan intensitas 5,753 liter/menit.

Dapat dilihat pada gambar 18, pada rincian angka 1 tidak terdapat Vegetasi intensitas curah hujan dengan periode ulang 2 tahun (12) menggunakan kolom debit sebesar 215.167×10^{-3} m³/detik dalam waktu TBS tiba-tiba dan jumlah sekali yang sama pada rincian curah hujan dengan periode ulang 5 tahun (15) keluaran debit yang diberikan meningkat jauh lebih besar dibanding kolom 12, yaitu sebesar 305.362×10^{-3} m³/detik.

Peningkatan juga terjadi pada resapan air (0-2 mm/sec/Ha) ini membuktikan bahwa semakin besar intensitas curah hujan yang berjatuhan, maka semakin besar pula limpasan permukaan yang terjadi.



Gambar 19. Hubungan antara vegetasi dan debit limpasan pada tiap intensitas.

Debit Impasan yang dihasilkan dari variasi vegetasi pada tiap intensitas berbeda-beda. Berdasarkan hasil perhitungan *runoff simulator*, kondisi tanah tanpa vegetasi menghasilkan rata-rata debit impasan terbesar pada tiap intensitasnya, yaitu 12 sebesar $6,728 \cdot 10^{-3}$ m³/detik dan 15 sebesar $7,983 \cdot 10^{-3}$ m³/detik. Tanah dengan vegetasi bambu menghasilkan rata-rata debit impasannya 12 sebesar $5,549 \cdot 10^{-3}$ m³/detik dan 15 sebesar $6,570 \cdot 10^{-3}$ m³/detik. Tanah dengan vegetasi pinus menghasilkan rata-rata debit impasan yang tanpa vegetasi jauhnya yaitu 12 sebesar $3,141 \cdot 10^{-3}$ m³/detik dan 15 sebesar $6,839 \cdot 10^{-3}$ m³/detik.

Peningkatan debit impasan yang terjadi menunjukkan bahwa, semakin intensitas cuaca semakin besar jumlah impasan. Hal ini sejalan dengan yang dikemukakan oleh Raditno, Widyu P. dkk (2012), dalam alamnya la tanah menyebabkan bahwa jumlah impasan permukaan menjadi lebih banyak yang jatuh lebih besar dari kapasitas infiltrasi pada tanah. Kondisi ini sangat dipengaruhi oleh beberapa hal, diantaranya intensitas curah hujan, karakteristik lahan, kualitas tanah, keruangan lahan dan kedalaman tanah.

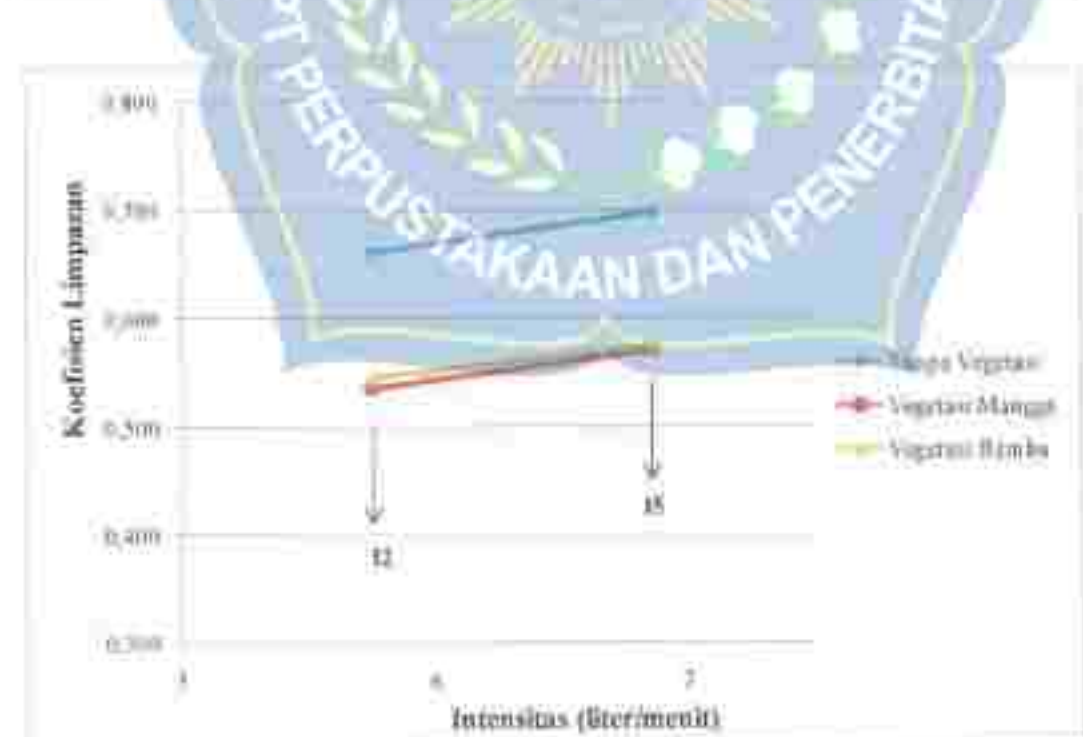
Kehilang tanah tanpa vegetasi menghasilkan rata-rata debit impasan yang lebih besar dari rata-rata debit impasan pada kondisi tanah dengan vegetasi, ini menunjukkan bahwa kondisi wilayah lahan mempengaruhi jumlah impasan. Menurut Rahim (2000) jumlah air yang menjadi impasan ini sangat bergantung kepada jumlah air hujan per satuan waktu (intensitas), kesaduan penutup tanah, topografi, jenis tanah dan ada atau tidaknya hujan yang terjadi sebelumnya serta luas area tangkapair.

E. Pengaruh Intensitas Curah Hujan Terhadap Koefisien Limpasan

Nilai C yang besar menunjukkan bahwa lebih banyak air hujan yang menjadi aliran permukaan. Nilai C berkisar antara 0-1. Nilai C = 0 menunjukkan bahwa semua air hujan terdistribusi melalui infiltrasi dan terutama infiltrasi, sedangkan untuk nilai C = 1 menunjukkan bahwa semua air hujan mengalir sebagai aliran permukaan (Putriadi, 2012).

Tabel 23. Koefisien limpasan yang dihasilkan bagi masing-masing varietas

Intensitas Curah Hujan Periode Utsug (liter/menit)	Koefisien Limpasan Rata-Rata		
	Tanpa Vegetasi	Vegetasi Mangga	Vegetasi Bambu
12	0,72	0,596	0,596
15	0,564	0,698	0,571



Gambar 20. Hubungan intensitas dan koefisien limpasan pada varietas vegetasi



Gambar 21. Hubungan vegetasi dan koefisien impasan pada tingkat intensitas

Rata-rata koefisien yang diperoleh pada intensitas 12 mm/h tanah tanpa vegetasi adalah 0,660, tanah bambu 0,690, dan vegetasi mangga 0,690. Pada intensitas 15 mm/h rata-rata koefisien mengalami peningkatan dengan tanah tanpa vegetasi koefisinya adalah 0,700, vegetasi bambu 0,690, dan vegetasi mangga 0,690. Adanya perbedaan pada tiap intensitas memperlihatkan bahwa besarnya intensitas juga mempengaruhi besarnya koefisien impasan.

Perbedaan nilai koefisien pada tiap variasi vegetasi menandakan adanya pengaruh yang dapat ditimbulkan oleh vegetasi terhadap koefisien impasan. Sutrisno (2004) mengemukakan faktor utama yang mempengaruhi nilai koefisien impasan (C_i) adalah laju infiltrasi tanah atau persentase lahan kedap air, kerapatan lahan, tanaman penutupan tanah dan intensitas hujan.

Dapat dilihat pada gambar 24 tanah tanpa vegetasi memiliki rata-rata nilai koefisien tertinggi pada tiap intensitas dibandingkan dengan nilai koefisien pada

tanah yang bervegetasi yaitu tanah dengan vegetasi mangga dan bambu. Hal ini menunjukkan bahwa vegetasi dan intensitas mempengaruhi nilai koefisien limpasan. Selanjutnya dapat disimpulkan bahwa vegetasi merupakan salah satu faktor yang mempengaruhi nilai koefisien (C_s) besarca cakupan vegetasi berbanding terbalik dengan koefisien limpasan, dimana tanah dengan vegetasi akan memiliki limpasan permukaan yang lebih kecil dari tanah tanpa vegetasi.



BAB V

KESIMPULAN DAN SARAN

A. Kesimpulan

Dari hasil dan pembahasan yang dipaparkan pada penelitian ini, dapat disimpulkan bahwa:

1. Besarinya intensitas (i) mempengaruhi besar suatu limpasan (Q), dan jumlah debit limpasan juga dalam pengukuran semakin meningkatnya perincian cuaca hujan. Intensitas cuaca hujan (i) berbanding lurus dengan besarnya limpasan permukaan (Q_s) dan koefisien limpasan (C_L) semakin besar merupakan semakin banyak hujan yang terjadi maka sebaliknya besar pula limpasan permukaan dan koefisien limpasan.
2. Vegetasi merupakan salah satu faktor yang mempengaruhi nilai koefisien limpasan (C_L). Besarinya vegetasi berbanding terbalik dengan koefisien limpasan, dimana tanah dengan struktur vegetasi yang luas akan memiliki tingkat limpasan permukaan yang lebih rendah dari tanah hanya vegetasi dan sebaliknya.

B. Saran

1. Dalam pengukuran limpasan dengan menggunakan *rainfall simulator* tipe *basic hydrology system*, sebaiknya diperhatikan dengan teliti pada bagian operasional tutup hujan dan posisi bak limpasan, keluaran limpasan diukur dengan tepat trap selang waktu yang digunakan.

2. Pengamatan limpasan dengan variasi kemiringan dan metode perhitungan yang berbeda sebaiknya dilanjutkan pada penelitian berikutnya.



DAFTAR PUSTAKA

- Akara, Rado, Satino, dan Agus Lestari Yuwono. 2016. Pengaruh Intensitas Hujan dan Penutupan Lahan (Plant Cover) Terhadap Nilai Airan Permukaan di Menggulan. *Rainfall Simulator*. Palembang: Universitas Sriwijaya.
- Analisis Curah Hujan*. www.pustaka.situbondo.ac.id (diunduh tanggal 23 Oktober 2019, 22:37)
- Analisis Hidrologi*. www.pustaka.situbondo.ac.id (diunduh tanggal 23 Oktober 2019, 22:37)
- Arifuddin S. 2010. *Konversi Tanah dan air*. Bogor: BPP Press.
- Asdak Chay, "Analisis Hubungan Antara Pengembangan Sosial Yogyakarta". Gadjah Mada University Press.
- Cipto, Hendra. 2019. *Hujan Deras dan Sungai Kecamatan Makassar dan 6 Langkahnya*. *Indonesian Drought and Hunger*. Makassar: KOMPAS.com
- Hanaryati, W, Indraji, Y. 2011. *Analisis Hubungan Curah Hujan dan Sub Sedimen dan Keteraturan Sifat-sifat Tengah, Ciamis, Banten*. Seminar Nasional Geomatika.
- Luthamury, Boktarsa, Totok Gunawan, dan Shunet Supriyadi. 2012. *Pengaruh Kerapatan Vegetasi, Persegi Panjang Lahan Terhadap Kandungan Riesesi Hidrograf Dua Sektor di Wilayah IUP Cikawao Jawa Tengah dan Provinsi DKI Yogyakarta*. Fakultas Geografi Universitas Gadjah Mada Indonesia.
- Latif, Ahmad. 2002. *Kajian Pengaruh Curah Hujan Terhadap Lampiran Permukaan (Run-off) di Daerah Aliran Sungai (DAS) Cicurug dengan Menggunakan Model Regresi*. Bogor: Institut Pertanian Bogor.
- Prabowo, Rustianto Wahyu dkk. 2014. *Analisis Daur Lingkaran Permukaan Dengan Memodifikasi Alat Rainfall Simulator Pada Tanah Demam Variasi Kelembaban*. Malang: Fakultas Teknik Universitas Brawijaya.
- Prutama, H. A. 2012. Hasil Penelitian Fakultas Teknik. *Model Eksponensial Pengaruh Kelembaban, Intensitas, Curah Hujan dan Komposisi terhadap Resapan pada Tanah Organik*. Makassar: Fakultas Teknik Universitas Hasanuddin.

- Purba, Mahardikti Putri. 2009. *Resur Aliran Permukaan Sungai Ippi Pada Berbagai Tipe Kelengkung Dibawah Tingakatan Erosionalnya*. Medan: Universitas Sumatera Utara.
- Rahardian, Andini dan Imam Buchori. 2016. *Dampak Perubahan Penggunaan Lahan Terhadap Lampauan Persekitaran Dan Jatuhan Air di Sub-DAS Gagahwang Hulu-Kabupaten Semarang*. Bim: Penerbit Planologi Undip.
- Saputro, Cahyo Indro, Bambang Sunand, dan Mohammad Amin. 2018. *Pengaruh Jenis Permukaan Terhadap Resapan Lampauan Air*. Magelang: Universitas Islam.
- Staddal, Ikram, Ompo Yatiwita, dan Sayatnawati. 2016. *Analisis Jatuhan Air Sungai DAS Hulu Selatan Selatan*.
- Soputra, Ketut. 2017. *Ciri-ciri Sungai Internasional Berdasarkan Peran Ciri-ciri Dalam Masa Depan*. Denpasar: Universitas Udayana.
- Verrina, Celia Putri, Elmu DAT Amangku, dan Siswoyo. 2013. *Inflasi Rerugi Pada Sungai Lampauan Hulu Palenrang*. Universitas Sriwijaya.



Tabel Skema running nomer untuk tiga variasi tutupan tanah (Tvg, Vmg, dan Vbm) dan dua intensitas curah hujan (12 dan 15)

Tutupan Tanah	Intensitas Curah Hujan	Kondisi	Nomor Running
Tvg	12	1	1
Vmg	15	1	2
Vbm	12	1	3
	15	1	4
	12	1	5
	15	1	6
	12	1	7
	15	1	8
	12	1	9
	15	1	10
	12	1	11
	15	1	12
	12	1	13
	15	1	14
	12	1	15
	15	1	16
	12	1	17
	15	1	18
	12	1	19
	15	1	20
	12	1	21
	15	1	22
	12	1	23
	15	1	24
	12	1	25
	15	1	26
	12	1	27
	15	1	28
	12	1	29
	15	1	30
	12	1	31
	15	1	32
	12	1	33
	15	1	34
	12	1	35
	15	1	36
	12	1	37
	15	1	38
	12	1	39
	15	1	40
	12	1	41
	15	1	42
	12	1	43
	15	1	44
	12	1	45
	15	1	46
	12	1	47
	15	1	48
	12	1	49
	15	1	50
	12	1	51
	15	1	52
	12	1	53
	15	1	54
	12	1	55
	15	1	56
	12	1	57
	15	1	58
	12	1	59
	15	1	60
	12	1	61
	15	1	62
	12	1	63
	15	1	64
	12	1	65
	15	1	66
	12	1	67
	15	1	68
	12	1	69
	15	1	70
	12	1	71
	15	1	72
	12	1	73
	15	1	74
	12	1	75
	15	1	76
	12	1	77
	15	1	78
	12	1	79
	15	1	80
	12	1	81
	15	1	82
	12	1	83
	15	1	84
	12	1	85
	15	1	86
	12	1	87
	15	1	88
	12	1	89
	15	1	90
	12	1	91
	15	1	92
	12	1	93
	15	1	94
	12	1	95
	15	1	96
	12	1	97
	15	1	98
	12	1	99
	15	1	100
	12	1	101
	15	1	102
	12	1	103
	15	1	104
	12	1	105
	15	1	106
	12	1	107
	15	1	108
	12	1	109
	15	1	110
	12	1	111
	15	1	112
	12	1	113
	15	1	114
	12	1	115
	15	1	116
	12	1	117
	15	1	118
	12	1	119
	15	1	120
	12	1	121
	15	1	122
	12	1	123
	15	1	124
	12	1	125
	15	1	126
	12	1	127
	15	1	128
	12	1	129
	15	1	130
	12	1	131
	15	1	132
	12	1	133
	15	1	134
	12	1	135
	15	1	136
	12	1	137
	15	1	138
	12	1	139
	15	1	140
	12	1	141
	15	1	142
	12	1	143
	15	1	144
	12	1	145
	15	1	146
	12	1	147
	15	1	148
	12	1	149
	15	1	150
	12	1	151
	15	1	152
	12	1	153
	15	1	154
	12	1	155
	15	1	156
	12	1	157
	15	1	158
	12	1	159
	15	1	160
	12	1	161
	15	1	162
	12	1	163
	15	1	164
	12	1	165
	15	1	166
	12	1	167
	15	1	168
	12	1	169
	15	1	170
	12	1	171
	15	1	172
	12	1	173
	15	1	174
	12	1	175
	15	1	176
	12	1	177
	15	1	178
	12	1	179
	15	1	180
	12	1	181
	15	1	182
	12	1	183
	15	1	184
	12	1	185
	15	1	186
	12	1	187
	15	1	188
	12	1	189
	15	1	190
	12	1	191
	15	1	192
	12	1	193
	15	1	194
	12	1	195
	15	1	196
	12	1	197
	15	1	198
	12	1	199
	15	1	200
	12	1	201
	15	1	202
	12	1	203
	15	1	204
	12	1	205
	15	1	206
	12	1	207
	15	1	208
	12	1	209
	15	1	210
	12	1	211
	15	1	212
	12	1	213
	15	1	214
	12	1	215
	15	1	216

EVALUASI AEROTEST RENNING TEST PADA EUSTAII SIMULATOR

A. Limpasan

Tabel 1. Volume limpusan pada ricinging (V₂) dalam liter

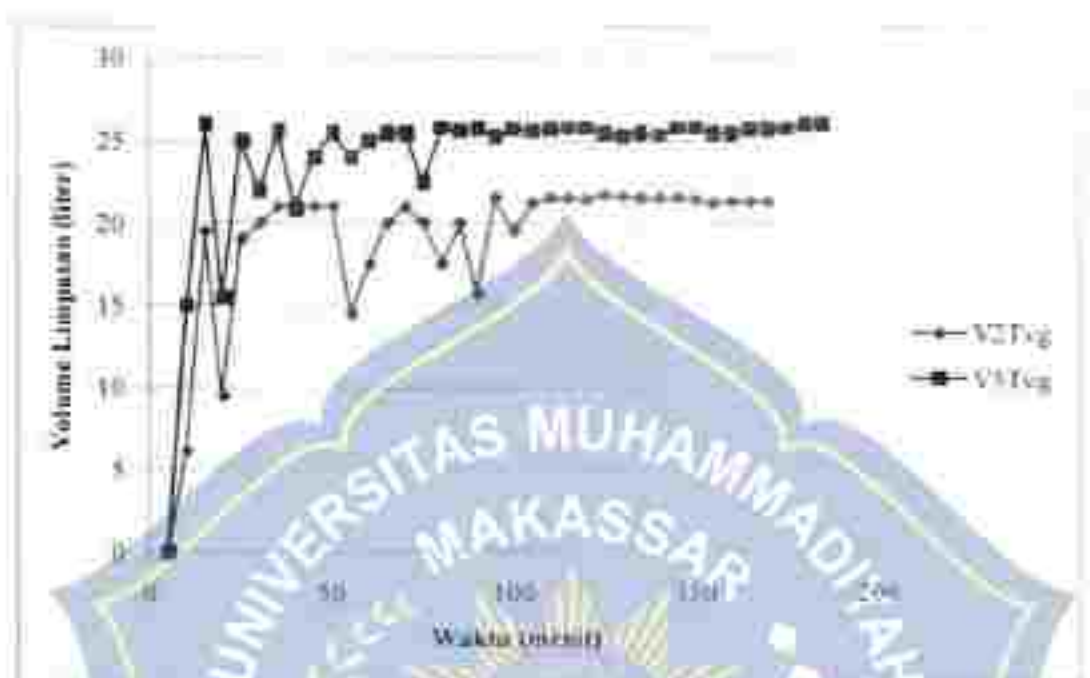
No.	Waktu (menit)	V ₂ Tg	N ₂ Tg
1	5	0	0
2	10	10	10
3	15	10	10
4	20	10	10
5	25	10	10
6	30	10	10
7	35	11	11
8	40	21	20
9	45	7	7
10	50	7	7
11	55	16	16
12	60	17	17
13	65	17	17
14	70	17	17
15	75	17	17
16	80	17	17
17	85	17	17
18	90	17	17
19	95	21	21
20	100	102	98,2
21	105	212	229
22	110	212	229
23	115	212	229
24	120	214	234
25	125	217	234
26	130	216	232
27	135	218	234
28	140	215	233
29	145	215	233
30	150	218	236
31	155	212	234
32	160	213	234
33	165	212	234
34	170	217	237
35	175		238
36	180		20
37	185		26
Jumlah		545,5	536,1
Rata-rata		19,0	23,9

Tabel 2. Volume limbasan pada rambut 4x2 vegetasi mangrove

No.	Waktu (menit)	V ₂ Vmg (liter)	V ₃ Vmg (liter)
1	5	0	0
2	10	6	6,4
3	15	17,8	14,1
4	20	16,2	19,5
5	25	17,4	20,3
6	30	17,8	18
7	35	17,5	21
8	40	17,6	19,9
9	45	16,8	20,9
10	50	15,5	21,1
11	55	18	21,4
12	60	18	18,6
13	65	17,5	20,8
14	70	17,7	20,5
15	75	19	20,7
16	80	17,9	19,1
17	85	16,9	20,5
18	90	16,5	20,9
19	95	16,5	21
20	100	16	21
21	105	16,7	20,3
22	110	17,5	21,2
23	115	17,5	21
24	120	17,5	21
25	125	16,7	20,7
26	130	17,2	21,5
27	135	17,4	21,2
28	140	17,4	21,2
29	145	17	21,2
30	150	17	21,4
31	155	17,2	21,5
32	160	17,2	21
33	165	17	21,2
34	170	17	21,2
35	175	17	21,5
36	180		21,5
37	185		21,5
Jumlah		570,7	725,8
Rata-rata		16,3	19,6

Tabel 2 Volume limpasan pada empat kali 3 vegetasi bambu

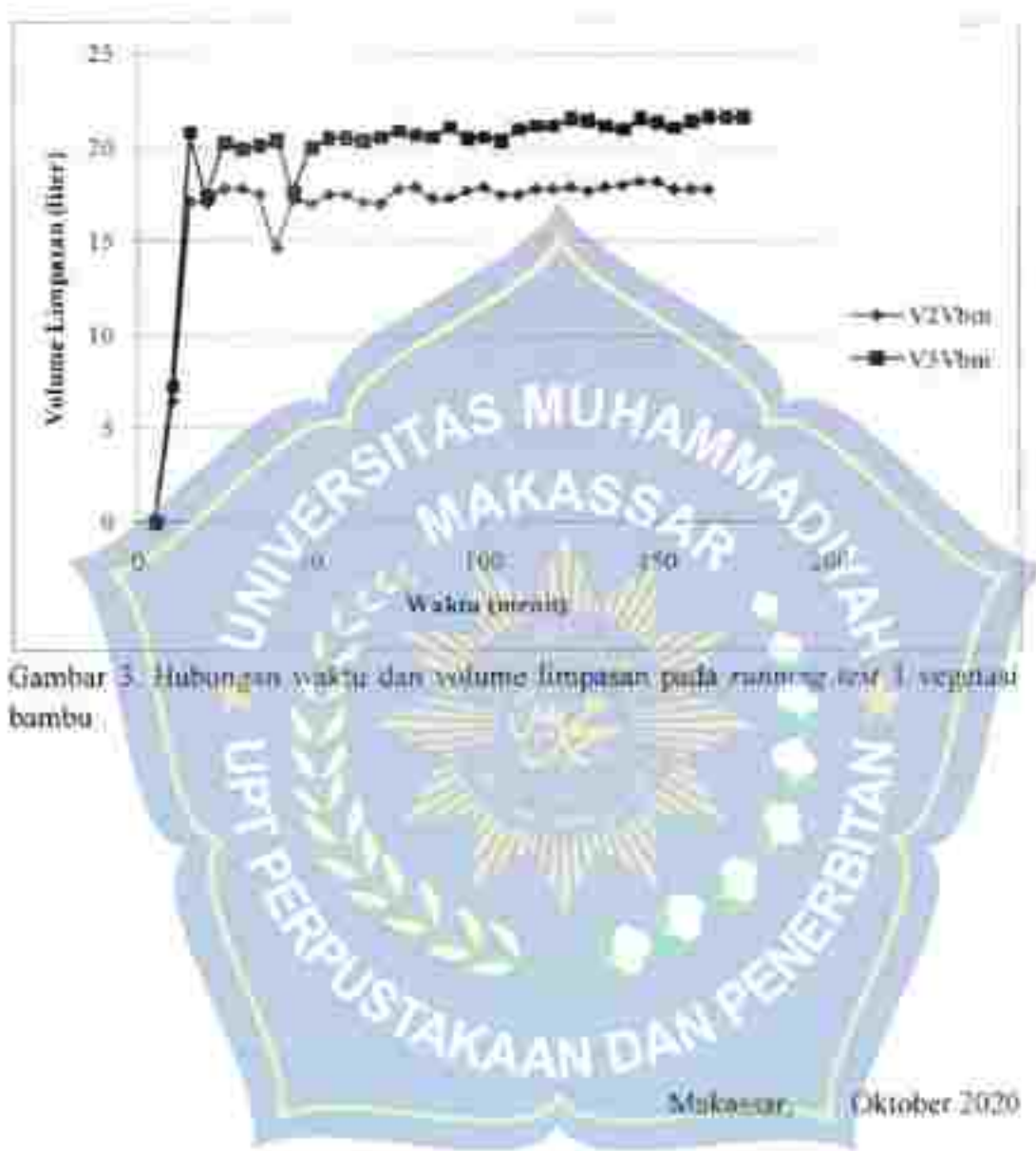
No.	Waktu (menit)	V-Vbm (liter)	V-Vbm (liter)
1	4	0	0
2	10	16,7	7,3
3	15	17,1	20,8
4	20	17	17,2
5	25	17,8	20,2
6	30	17,8	19,9
7	35	17,8	20,1
8	40	17,6	20,4
9	45		17,0
10	50		19,1
11	55	17,4	20,3
12	60	17,5	20,5
13	65	17,1	20,4
14	70	17,7	20,0
15	75	17,8	20,9
16	80	17,4	20,7
17	85	17,0	20,6
18	90	17,2	21,1
19	95	17,7	21,5
20	100	17,4	21,0
21	105	17,6	20,4
22	110	17,5	21,1
23	115	17,8	21,2
24	120		21,1
25	125		21,6
26	130		21,5
27	135		21,5
28	140		21
29	145	18,7	21,6
30	150	18,7	21,1
31	155	17,5	21,1
32	160	17,5	21,5
33	165	17,9	21,7
34	170		21,7
35	175		21,7
Jumlah		549,4	689,9
Rata-rata		16,6	19,7



Gambar 1 Hubungan waktu dan volume limpasan pada jaringan test 1 tanpa vegetasi



Gambar 2 Hubungan waktu dan volume limpasan pada jaringan test 1 vegetasi rumput



Makassar, Oktober 2020

Mengetahui,

Asisten Laboratorium



B. Infiltrasi

Tabel 4. Volume infiltrasi pada *rainout test* I tanpa vegetasi

No.	Waktu (menit)	12 (liter)	15 (liter)
1	5	0	0
2	10	0	0
3	15	0	0
4	20	0	0,3
5	25	0,6	0,8
6	30	1,75	1,75
7	35	4	3,85
8	40	1,65	2,01
9	45	1,96	2,23
10	50	2,68	2,56
11	55	2,7	3,85
12	60	2,72	3,63
13	65	2,75	3,95
14	70	2,9	3,95
15	75	2,8	3,61
16	80	2,7	3,97
17	85	2,9	3,92
18	90	2,89	2,95
19	95	2,8	3,11
20	100	2,9	3,06
21	105	2,92	3,99
22	110	2,87	2,96
23	115	2,87	2,95
24	120	2,75	2,8
25	125	2,54	2,9
26	130	2,6	2,9
27	135	2,95	2,86
28	140	2,95	2,86
29	145	2,95	2,89
30	150		2,78
31	155		2,89
32	160		2,84
33	165		2,83
34	170		2,85
35	175		2,85
36	180		2,78
37	185		2,73
Jumlah:		62,10	88,91
Rata-Rata:		2,14	2,40

Tabel 5. Volume infiltrasi pada *rainning test* 2 vegetasi mangga

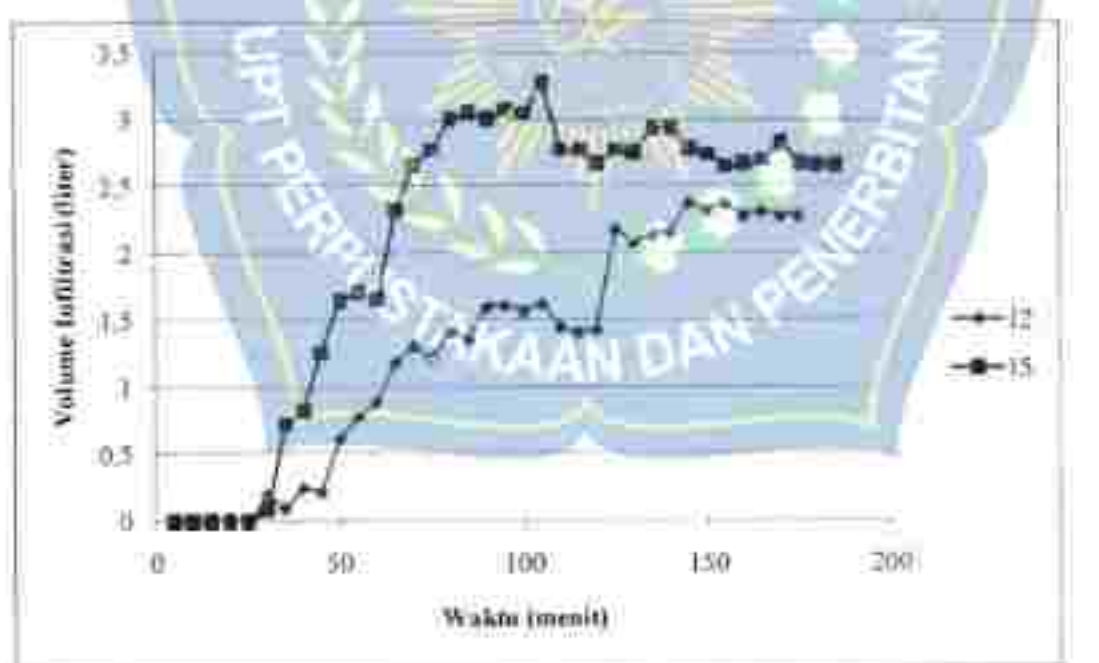
No.	Waktu (menit)	12 (liter)	15 (liter)
1	5	0	0
2	10	0	0
3	15	0	0
4	20	0	0
5	25	0	0
6	30	0,2	0,1
7	35	0,1	0,72
8	40	0,25	0,81
9	45	0,2	1,25
10	50	0,62	1,65
11	55	0,78	1,71
12	60	0,9	1,66
13	65	1,19	2,33
14	70	1,31	2,66
15	75	1,22	2,78
16	80	1,42	3,01
17	85	1,36	3,06
18	90	1,6	3,01
19	95	1,01	3,08
20	100	1,27	3,05
21	105	1,62	3,28
22	110	1,45	2,71
23	115	1,41	2,78
24	120	1,43	2,68
25	125	2,18	2,78
26	130	2,08	2,76
27	135	2,14	2,94
28	140	2,16	2,94
29	145	2,38	2,79
30	150	2,32	2,75
31	155	2,37	2,65
32	160	2,28	2,68
33	165	2,31	2,7
34	170	2,28	2,83
35	175	2,28	2,68
36	180		2,66
37	185		2,66
Jumlah		45,04	78,25
Rata-Rata		1,29	2,11

Tabel 6. Volume infiltrasi pada running test 2 vegetasi bambu

No.	Waktu (menit)	12 (liter)	15 (liter)
1	5	0	0
2	10	0	0
3	15	0	0,02
4	20	0,42	0,82
5	25	0,72	1,23
6	30	1,81	2,40
7	35	2,07	2,90
8	40	2,90	4,05
9	45	3,02	4,99
10	50	2,5	4,35
11	55	2,63	4,30
12	60	2,98	4,33
13	65	2,94	4,36
14	70	2,96	4,45
15	75	2,79	4,30
16	80	2,8	4,22
17	85	4,06	4,03
18	90	3,99	3,92
19	95	2,8	4,08
20	100	4,85	4,10
21	105	2,8	4,25
22	110	2,85	4,11
23	115	2,75	4,01
24	120	2,68	3,83
25	125	2,68	3,52
26	130	2,61	3,57
27	135	2,72	3,77
28	140	2,8	3,86
29	145	2,8	3,65
30	150		3,66
31	155		3,69
32	160		3,57
33	165		3,60
34	170		3,60
35	175		3,60
Jumlah		66,00	118,41
Rata-Rata		2,28	3,38



Gambar 4 Hubungan waktu dan volume infiltrasi pada ranjang test 1 tanpa vegetasi



Gambar 5 Hubungan waktu dan volume infiltrasi pada ranjang test 2 vegetasi manisan



Gambar 6. Hubungan waktu dan volume infiltrasi pada running test 3 vegetasi bambu.

Mengetahui,

Asisten Laboratorium

Aminy, S.T

LAMPIRAN B: PERHITUNGAN DEBIT DAN LAJU LIMPASAN

A. Running Test 1 Tanpa Vegetasi

1. Debit Limpasan

Pada waktu ke-10 menit memasuki 12 dengan nilai t selang waktu = 5 menit, nilai $V_0 T_{vg} = 6,2 \text{ liter}$ (lihat angka 1). Dengan alih unit $1000 \text{ liter} = 1 \text{ m}^3$ menggunakan persamaan (2)

$$Q_0 T_{vg} = \frac{V_0 T_{vg}}{t}$$

$$\frac{6,2 \text{ liter}}{5 \text{ menit}}$$

$$Q_0 T_{vg} = 1,24 \text{ liter/menit}$$

Kemudian nilai $Q_0 T_{vg}$ diambil liter/menit dikonversi dalam m³/detik menggunakan persamaan (3)

$$Q_0 T_{vg} = 1,24 \frac{\text{liter}}{\text{menit}} \times \frac{0,001 \text{ m}^3}{60 \text{ detik}}$$

$$Q_0 T_{vg} = 0,0000207 \text{ m}^3/\text{detik}$$

Tabel 1. Debit limpasan pada running test 1 tanpa vegetasi

No.	Waktu (menit)	$Q_0 T_{vg}$ (liter/menit)	$Q_0 T_{vg}$ (liter/menit)	$Q_0 T_{vg}$ (m ³ /detik)	$Q_0 T_{vg}$ (m ³ /detik)
1	5	0,00	0,00	0,0000000	0,0000000
2	10	1,24	3,00	0,0000320	0,0000080
3	15	3,96	5,20	0,0000650	0,0000167
4	20	1,90	3,10	0,0000317	0,0000080
5	25	3,80	5,00	0,0000633	0,0000163
6	30	4,00	4,40	0,0000667	0,0000173
7	35	4,20	5,12	0,0000700	0,0000183
8	40	4,24	4,16	0,0000707	0,0000189
9	45	4,20	4,80	0,0000700	0,0000180
10	50	4,20	5,10	0,0000700	0,0000185
11	55	2,90	4,80	0,0000483	0,0000120
12	60	3,30	5,00	0,0000583	0,0000143
13	65	4,00	5,10	0,0000667	0,0000165
14	70	4,20	5,10	0,0000700	0,0000185

Tabel 2. Laju Impasian pada ruang terbuka T tanpa vegetasi (tabel lanjutan)

No.	Waktu (menit)	Laju Impasian 12 (mm/jam)	Laju Impasian 15 (mm/jam)
29	145	215,00	258,00
30	150	214,00	258,00
31	155	212,00	255,00
32	160	213,00	255,00
33	165	213,00	257,00
34	170	213,00	257,00
35	175	0,00	258,00
36	180	0,00	260,00
37	185	0,00	260,00

- Lampiran Bab IV hal 32

Contoh perhitungan koefisien impasian C_{Tvg} pada 1 - 600 detik, dengan

287,631 mm/jam, nota: tji = impasian diurutkan pada lampiran B

$$C = \frac{\text{Laju Impasian (mm/jam)}}{\text{Intensitas Bukan (mm/jam)}}$$

$$C = \frac{62,00}{287,631} = 0,216$$

- Lampiran Bab IV hal 32

Contoh perhitungan debit impasian Q_{Tvg} pada 1 - 600 detik

$$Q = C \times I \times A$$

$$Q_{Tvg} = C_{Tvg} \times I_{Tvg} \times A$$

$$Q_{Tvg} = 0,216 \times 0,000980 \times 1,2$$

$$Q_{Tvg} = 0,0002067 \text{ m}^3/\text{detik}$$

B. Running Test 2 Vegetasi Mangrove

1. Debit Limpasan

Pada waktu ke-10 memiliki intensitas 12 dengan nilai t selang waktu = 5 menit, nilai $Q_{c,Vmg}$ = 6 liter (tanaman A), debit dibatasi dengan menggunakan persamaan (2).

$$Q_{c,Vmg} = \frac{V_{c,Vmg}}{t}$$

$$\frac{\text{Liter}}{5 \text{ menit}}$$

$$Q_{c,Vmg} = 1,20 \text{ liter/menit}$$

Kemudian nilai $Q_{c,Vmg}$ selanjutnya dikonversi menjadi satuan m³/detik.

$$Q_{c,Vmg} = 1,20 \cdot \frac{0,001 \text{ m}^3}{5 \text{ menit}} = \frac{0,001 \text{ m}^3}{60 \text{ detik}}$$

$$Q_{c,Vmg} = 0,0000200 \text{ m}^3/\text{detik}$$

Tabel 3. Debit limpasan pada runnung test 2 vegetasi mangrove

No.	Waktu (menit)	$Q_{c,Vmg}$ (liter/menit)	$Q_{c,Vmg}$ (Liter/menit)	$Q_{c,Vmg}$ (det. detik)	$Q_{c,Vmg}$ (m³/detik)
1	5	0,00	0,00	0	0
2	10	1,20	1,20	0,0000200	0,00000213
3	15	2,70	2,70	0,0000460	0,00000470
4	20	3,24	3,24	0,0000540	0,00000550
5	25	3,48	3,48	0,0000580	0,00000577
6	30	3,56	3,56	0,0000593	0,00000590
7	35	3,50	3,50	0,0000583	0,00000570
8	40	3,56	3,56	0,0000593	0,00000593
9	45	3,36	3,36	0,0000560	0,00000570
10	50	3,50	3,50	0,0000583	0,00000570
11	55	3,60	3,60	0,0000600	0,00000573
12	60	3,60	3,60	0,0000600	0,00000570
13	65	3,50	3,50	0,0000583	0,00000570
14	70	3,54	3,54	0,0000590	0,00000583
15	75	3,60	3,60	0,0000600	0,00000590
16	80	3,50	3,50	0,0000583	0,00000570
17	85	3,36	3,36	0,0000560	0,00000563
18	90	3,30	3,30	0,0000550	0,00000567

Tabel 3. Debit limpasan pada runtung test 2 vegetasi mangga (tabel lanjutan)

No.	Waktu (menit)	$Q_{42}Vmg$ (liter/menit)	$Q_{42}Vmg$ (liter/menit)	$Q_{42}Vmg$ (m ³ /detik)	$Q_{42}Vmg$ (m ³ /detik)
19	95	3,30	4,20	0,0000550	0,0000700
20	100	3,29	4,20	0,0000533	0,0000700
21	105	3,34	4,06	0,0000557	0,0000672
22	110	3,50	4,24	0,0000583	0,0000707
23	115	3,54	4,20	0,0000590	0,0000700
24	120	3,46	4,20	0,0000577	0,0000690
25	125	3,34	4,14	0,0000532	0,0000690
26	130	3,41	4,21	0,0000553	0,0000710
27	135	3,50	4,24	0,0000583	0,0000707
28	140	3,48	4,24	0,0000583	0,0000707
29	145	2,54	4,24	0,0000567	0,0000672
30	150	3,40	4,28	0,0000597	0,0000713
31	155	3,44	4,30	0,0000573	0,0000712
32	160	3,44	4,29	0,0000573	0,0000700
33	165	3,46	4,24	0,0000567	0,0000707
34	170	3,40	4,24	0,0000567	0,0000707
35	175	3,40	4,16	0,0000567	0,0000717
36	180	3,50	4,25	0	0,0000725
37	185	3,70	4,26	0	0,0000726
Jumlah		114,14	145,16	0,0019025	0,0024193
Rata-rata		3,26	3,92	0,0000514	0,0000654

• Lampiran BalN 179 Hal. 5

contoh perhitungan debit limpasan $Q_{42}Vmg$ pada t = 60 detik

$$Q = \frac{V}{t}$$

$$Q_{42}Vmg = \frac{0,006 \text{ m}^3}{600 \text{ detik}}$$

$$Q_{42}Vmg = 0,0000200 \text{ m}^3/\text{detik}$$

2. Laju Limpasan

Laju limpasan dihitung dengan menggunakan persamaan (5). Pada intensitas (2)

$$t = 5 \text{ menit} = 0,083 \text{ jutu}$$

$$V = 6 \text{ liter} = 6000000 \text{ mm}^3$$

$$A = 1,2 \text{ m}^2 = 1200000 \text{ mm}^2$$

$$\text{Laju Limpasan} = \frac{V (\text{mm}^3)}{A (\text{mm}^2) \times t (\text{jam})}$$

$$\text{Laju Limpasan} = \frac{8200000 \text{ mm}^3}{1200000 \text{ mm}^2 \times 6,003 \text{ jam}} = 136,67 \text{ mm/jam}$$

Tabel 4. Laju Limpasan pada percobaan 2 vegetasi tanah

No.	Waktu (detik)	Cajal Limpasan R. (m³/jam)	Laju Limpasan 15 (mm/jam)
1	3	0,00	0,00
2	10	69,00	64,00
3	15	138,00	134,00
4	20	162,00	155,00
5	25	174,00	165,00
6	30	176,00	169,00
7	35	175,00	170,00
8	40	176,00	172,00
9	45	168,00	162,00
10	50	175,00	170,00
11	55	180,00	174,00
12	60	180,00	176,00
13	65	175,00	170,00
14	70	177,00	175,00
15	75	180,00	177,00
16	80	175,00	171,00
17	85	168,00	165,00
18	90	165,00	169,00
19	95	165,00	170,00
20	100	160,00	170,00
21	105	167,00	173,00
22	110	175,00	172,00
23	115	177,00	170,00
24	120	173,00	170,00
25	125	167,00	167,00
26	130	172,00	173,00
27	135	175,00	172,00
28	140	174,00	172,00
29	145	170,00	172,00

Tabel 4. Laju limpasan pada running test 2 vegetasi mangga (tabel lanjutan)

No.	Waktu (menit)	Laju Limpasan 12 (mm/jam)	Laju Limpasan 15 (mm/jam)
30	150	170,00	214,00
31	155	172,00	215,00
32	160	172,00	210,00
33	165	170,00	212,00
34	170	170,00	212,00
35	175	170,00	215,00
36	180	0,00	215,00
37	185	0,00	215,00

- Lampiran Bbf. IV hal. 39

Contoh perhitungan kostilisasi limpasan C₂Vmg pada t = 600 detik dengan q = 287,631 mm/jam, nilai laju limpasan diambil dari pada lampiran D

$$C_2Vmg = \frac{\text{Laju Limpasan (mm/jam)}}{\text{Intensitas jatuh (mm/jam)}} = \frac{40,00}{287,631} = 0,299$$

- Lampiran Bbf. IV hal. 41

Contoh perhitungan dekh limpasan Q_{dekh}Vmg pada t = 600 detik

$$Q = CxJxA$$

$$Q_{dekh}Vmg = C_2Vmg \times J \times A$$

$$Q_{dekh}Vmg = 0,299 \times 0,00080 \times 1,2$$

$$Q_{dekh}Vmg = 0,0002096 \text{ m}^3/\text{detik}$$

C. Running Test 3 Vegetasi Bambu

1. Debit Limpasan

Pada waktu ke-10 menit intervalis 12 dengan nilai 1 selang waktu = 5 menit, nilai V₂Vbm = 6,5 liter (lampiran A), debit dihitung dengan menggunakan persamaan (2).

$$Q_{s2}Vbm = \frac{V_t Vbm}{t}$$

$$\frac{6,5 \text{ liter}}{5 \text{ menit}}$$

$$Q_{s2}Vbm = 1,30 \text{ liter/menit}$$

Kemudian nilai $Q_{s2}Vbm$ satuan liter/menit dikonversi menjadi satuan m^3/detik

$$Q_{s2}Vbm = 1,30 \frac{\text{liter}}{\text{menit}} \times \frac{0,01 \text{ m}^3}{0,0001 \text{ m}^3/\text{detik}}$$

$$Q_{s2}Vbm = 0,0000130 \text{ m}^3/\text{detik}$$

Tabel 5. Data impasian pada vegetasi rawa/vegetasi bantaran

No.	Waktu (menit)	$Q_{s1}Vbm$ (liter/menit)	$Q_{s2}Vbm$ (liter/menit)	$Q_{s3}Vbm$ (m ³ /detik)	$Q_{s4}Vbm$ (m ³ /detik)
1	5	3,50	0,00	0	0
2	10	3,50	1,40	0,0000140	0,0000140
3	15	3,50	4,10	0,0000410	0,0000410
4	20	3,50	4,40	0,0000440	0,0000440
5	25	3,50	4,06	0,0000406	0,0000406
6	30	3,50	3,95	0,0000395	0,0000395
7	35	3,50	4,00	0,0000398	0,0000398
8	40	3,50	4,08	0,0000408	0,0000408
9	45	3,49	4,52	0,0000452	0,0000452
10	50	3,40	4,00	0,0000400	0,0000400
11	55	3,50	4,10	0,0000410	0,0000410
12	60	3,50	4,10	0,0000410	0,0000410
13	65	3,42	4,08	0,0000408	0,0000408
14	70	3,40	4,12	0,0000412	0,0000412
15	75	3,56	4,18	0,0000418	0,0000418
16	80	3,58	4,14	0,0000414	0,0000414
17	85	3,46	4,12	0,0000412	0,0000412
18	90	3,46	4,22	0,0000422	0,0000422
19	95	3,54	4,10	0,0000410	0,0000410
20	100	3,58	4,12	0,0000412	0,0000412
21	105	3,50	4,08	0,0000408	0,0000408
22	110	3,50	4,20	0,0000420	0,0000420
23	115	3,56	4,24	0,0000424	0,0000424
24	120	3,56	4,24	0,0000424	0,0000424
25	125	3,48	4,32	0,0000432	0,0000432

Tabel 5: Debit limpasan pada curving no. 3 vegetasi bambu (tabel lanjutan)

No.	Waktu (menit)	$Q_{02}Vbm$ (liter/ menit)	$Q_{02}Vbm$ (liter/ menit)	$Q_{02}Ybm$ ($m^3/detik$)	$Q_{02}Vbm$ ($m^3/detik$)
26	130	3,54	4,30	0,0000590	0,0000717
27	135	3,58	4,34	0,0000597	0,0000717
28	140	3,60	4,36	0,0000600	0,0000719
29	145	3,64	4,37	0,0000607	0,0000720
30	150	3,64	4,38	0,0000607	0,0000717
31	155	3,56	4,32	0,0000593	0,0000713
32	160	3,56	4,30	0,0000593	0,0000717
33	165	3,50	4,24	0,0000573	0,0000723
34	170	3,00	4,18	0,0000560	0,0000723
35	175	0,00	4,14	0,0000560	0,0000723
Jumlah		198,58	237,98	0,0018343	0,0022597
Rata-rata		3,33	2,94	0,0000233	0,0000251

- Lampiran E.2.b IV hal. 46

contoh perhitungan debit limpasan $Q_{02}Vbm$ pada $t = 600$ detik

$$Q = \frac{V}{t}$$

$$Q_{02}Vbm = \frac{0,006974}{600 \text{ detik}}$$

$$Q_{02}Vbm = 0,00002327 \text{ } m^3/\text{detik}$$

2. Laju Limpasan

Laju limpasan dituliskan dengan menggunakan persamaan (5). Pada intensitas 12:

$$t = 5 \text{ menit} = 0,083 \text{ jam}$$

$$V = 6,5 \text{ liter} = 6500000 \text{ mm}^3$$

$$A = 1,2 \text{ m}^2 = 1200000 \text{ mm}^2$$

$$\text{Laju Limpasan} = \frac{V (\text{mm}^3)}{A (\text{mm}^2) \times t (\text{jam})}$$

$$\text{Laju Limpasan} = \frac{6500000 \text{ mm}^3}{1200000 \text{ mm}^2 \times 0,083 \text{ jam}} = 65,00 \text{ mm/jam}$$

Tabel 6. Laju limpasan pada *rumput* terhadap vegetasi bambu

No.	Waktu (menit)	Laju Limpasan 12 (mm/jam)	Laju Limpasan 15 (mm/jam)
1	5	0,00	0,00
2	10	65,00	73,00
3	15	171,00	208,00
4	20	170,00	174,00
5	25	178,00	202,00
6	30	178,00	199,00
7	35	175,00	200,00
8	40	186,00	204,00
9	45	172,00	176,00
10	50	170,00	196,00
11	55	175,00	205,00
12	60	175,00	205,00
13	65	177,00	204,00
14	70	170,00	206,00
15	75	178,00	207,00
16	80	129,00	207,00
17	85	175,00	226,00
18	90	175,00	211,00
19	95	177,00	205,00
20	100	179,00	206,00
21	105	175,00	204,00
22	110	175,00	205,00
23	115	178,00	212,00
24	120	174,00	212,00
25	125	179,00	216,00
26	130	177,00	215,00
27	135	179,00	212,00
28	140	180,00	210,00
29	145	182,00	216,00
30	150	182,00	214,00
31	155	178,00	211,00
32	160	178,00	215,00
33	165	178,00	217,00
34	170	0,00	217,00
35	175	0,00	217,00

- Lampiran Bab IV hal. 48

Contoh perhitungan koefisien limpasan C_{Vbm} pada $t = 600$ detik dengan $I_c = 287,631 \text{ mm/jam}$, nilai laju limpasan diambilkan pada lampiran II.

$$C = \frac{\text{Laju Limpasan (mm/jam)}}{\text{Intensitas Hujan (mm/jam)}}$$

$$C = \frac{65,00}{287,631} = 0,226$$

- Lampiran Bab IV hal. 29

Contoh perhitungan debu limpasan $Q_{debu}Vbm$ pada $t = 600$ detik.

$$Q = C \times V \times A$$

$$Q_{debu}Vbm = C_{debu}Vbm \times C \times A$$

$$Q_{debu}Vbm = 0,226 \times 0,00080 \times 1,2$$

$$Q_{debu}Vbm = 0,000216 \text{ m}^3/\text{detik}$$

LAMPIRAN C: PERHITUNGAN INTENSITAS CURAH HUJAN

A. Perhitungan Curah Hujan Maksimum Harian Rata-Rata

Perhitungan curah hujan maksimum harian rata-rata menggunakan metode rata-rata Aljabar. Sampai perhitungan tahun 1987 diperlukan data curah hujan maksimum harian maksimum selama lima puluh lima tahun sejak dengan data berikut sebagai :

$$R = \frac{1}{5} (336 + 30 + 323) \\ R = 111,57$$

Adapun rekapitulasi hasil perhitungan curah hujan maksimum harian rata-rata dengan metode Aljabar dijelaskan dalam tabel di bawah ini :

Tabel 1. Rekapitulasi hasil perhitungan Curah rata-rata

No.	Tahun	Rata-rata Harian Rata-rata	Tahun	Tahun	Rata-rata Harian Rata-rata
1	1997	314,13	6	2008	162,67
2	1998	333,60	13	2009	147,57
3	1999	210,00	14	2010	111,57
4	2000	165,00	15	2011	175,00
5	2001	247,00	16	2012	147,33
6	2002	158,00	17	2013	197,00
7	2003	150,33	18	2014	175,33
8	2004	129,33	19	2015	187,00
9	2005	167,67	20	2016	143,67
10	2006	208,33	21	2017	157,33
11	2007	151,00	22	2018	137,50

Sumber : Hasil Perhitungan

B. Analisis Frekuensi

Analisis frekuensi dilakukan secara bersifap, diawali dengan pengukuran dispersi, baik untuk dispersi normal maupun dispersi logaritmik untuk menghitung parameter-parameter statistiknya. Parameter statistik tersebut antara lain koefisien korelasinya (C_s), Koefisien ketidakteraturan (Cv) dan Koefisien varians (Cv^2). Kemudian dapat disimpulkan jenis distribusinya berdasarkan tipe-tipe dispersi yang dapat dilihat dalam tabel analisis frekuensi yang dibuatkan dalam urutan sebagai berikut.

I. Parameter Statistik

Untuk menghitung parameter statistik, dibutuhkan data hasil pengukuran dispersi yaitu nilai rata-ratanya dan nilai deviasi standar dengan menggunakan persamaan (2) dan (3). Koefisien varians (Cv), Koefisien korelasinya (C_s), Koefisien kuruns (C_k) dan deviasi standar menggunakan persamaan hasil perhitungan dituliskan pada tabel 2.

Tabel 2. Pengukuran dispersi

No	Tahun	ΣX	\bar{X}_r	$X_i - \bar{X}_r$	$(X_i - \bar{X}_r)^2$	$(X_i - \bar{X}_r)^4$	$(X_i - \bar{X}_r)^6$
1	1997	247	163	84	7056	592704	49707136
2	1998	220	163	57	3249	185193	10556001
3	1999	208	163	45	2025	91125	4106625
4	2000	197	163	34	1156	75634	3361344
5	2001	187	163	24	576	1324	331776
6	2002	175	163	12	144	1728	20736
7	2003	170	163	7	49	147	3401
8	2004	169	163	6	36	125	3249
9	2005	168	163	5	25	125	3225
10	2006	168	163	5	25	125	3225
11	2007	162	163	0	0	0	0
12	2008	157	163	-6	36	216	1728
13	2009	151	163	-12	144	1728	30234
14	2010	150	163	-13	169	196	28561
15	2011	146	163	-17	289	837	70845
16	2012	145	163	-18	324	972	73716
17	2013	152	163	-11	121	8601	162000
18	2014	135	163	-28	784	57600	120000
19	2015	129	163	-34	1156	36096	230400
20	2016	122	163	-41	1681	69931	2825761
21	2017	114	163	-49	2401	23956	575481
22	2018	111	163	-52	2704	145696	513616
Σ		2575			12412	511593	14512825

Sumber: Hasil Perhitungan

Nilai rata-rata (\bar{X}_r)

$$\bar{X}_r = \frac{\sum X}{n} = \frac{3537}{22}$$

= 163 mm

Standar Deviasi (S) :

$$S = \sqrt{\frac{\sum(X_i - \bar{X})^2}{n-1}}$$

$$= \sqrt{\frac{24413}{22-1}}$$

$$= 34$$

Koefisien Skewness (Cs)

$$Cs = \frac{n \cdot \sum(X_i - \bar{X})^3}{(n-1)(n-2)s^3}$$

$$\frac{22 \cdot 3.511593}{(22-1)(22-2)34}$$

$$= \frac{11255046}{16507680}$$

$$= 0.681$$

Koefisien Kurtosis (Ck)

$$Ck = \frac{n^2 \cdot \sum(X_i - \bar{X})^4}{(n-1)(n-2)(n-3)s^4}$$

$$\frac{22^2 \cdot 84512825}{(22-1)(22-2)(22-3)34^4}$$

$$= \frac{40904207500}{10663961280}$$

$$= 3.837$$



Koefisien Variasi (Cv):

$$Cv = \frac{Sd}{\bar{x}_r}$$

$$= \frac{163}{34}$$

$$= 0.209$$

Untuk analisa teknik dengan jumlahnya juga dilakukan perhitungan parameter statistik ilmiah, hasil-hasil seperti diatas. Penilaian dispersi (variabilitas) yaitu nilai rata-rata dan standar deviasi sebagaimana (Eqs), koefisien variasi (Cv) dan koefisien variasi (Cv) dihitung dengan menggunakan persamaan. Hasil perhitungan diperlihatkan pada tabel 9.

Nilai rata-rata (\bar{x}_r):

$$\bar{x}_r = \frac{\sum Log X_i}{n} = \frac{40,459}{22} = 2,931$$

Standar deviasi (Sd):

$$Sd = \sqrt{\frac{\sum (Log X_i - \bar{x}_r)^2}{n-1}}$$

$$\sqrt{\frac{0,16639}{22-1}}$$

$$= 0,089$$

Koeffisien Skewness (Cs) :

$$Cs = \frac{n \sum (\log X_i - \bar{\log} X_r)^2}{(n-1)(n-2)s^2}$$

$$= \frac{22 \times 0.00249}{(22-1)(22-2)0.089^2}$$

$$= \frac{0.05481}{0.2960}$$

= 0.185

Koeffisien Kurtosis (Ck) :

$$Ck = \frac{n^2 \sum (\log X_i - \bar{\log} X_r)^4}{(n-1)(n-2)s^4}$$

$$= \frac{22^2 \times 0.003130746}{(22-1)(22-2)0.089^4}$$

$$= \frac{1.612091}{0.500683}$$

= 3.219

Koeffisien Variansi (Cv) :

$$Cv = \frac{Sd}{\bar{\log} X_r}$$

$$= \frac{0.089}{2.207} = 0.040$$



Tabel 3. Pengukuran dispersi dengan logaritma

No	Tabel	\bar{x}	$\log \bar{x}$	$\log b$	$\log \bar{b}x_i$	$(\log \bar{x}) - \log \bar{b}x_i^1$	$(\log \bar{x}) - \log \bar{b}x_i^2$	$(\log \bar{x}) - \log \bar{b}x_i^3$
1	297	247	2.38697	2.262293	0.1939774	-0.0251231	1.0080356	0.0013453
2	298	270	2.342477	2.260799	0.1401549	-0.0649427	1.0371247	0.0003851
3	299	204	2.303603	2.260298	0.1255426	0.01340331	0.0161239	0.0001796
4	300	187	2.294462	2.260298	0.0910921	-0.0696079	0.0070493	1.1163616
5	301	157	2.270405	2.260298	0.0649426	-0.0424248	0.001625	2.0000000
6	302	175	2.254285	2.260298	0.0409204	-0.0169444	0.0000000	2.0000000
7	303	139	2.234425	2.260298	0.0169082	-0.0622425	1.0000000	1.7500000
8	304	159	2.217965	2.260298	0.0028865	-0.088547	-0.0000000	4.0000000
9	305	132	2.194458	2.260298	-0.0209071	-0.0052962	1.0000000	0.0000000
10	306	133	2.194458	2.260298	-0.0209071	-0.0052962	1.0000000	0.0000000
11	307	133	2.194458	2.260298	-0.0209071	-0.0052962	1.0000000	0.0000000
12	308	159	2.175929	2.260298	-0.0368855	-0.0914245	-1.0000000	1.5794400
13	309	131	2.159181	2.260298	-0.0528632	-0.0094532	1.0000000	1.9625000
14	310	159	2.153000	2.260298	-0.0528632	-0.0094532	1.0000000	1.9625000
15	311	148	2.142537	2.260298	-0.0688409	-0.0254061	-0.0000000	4.0000000
16	312	132	2.132377	2.260298	-0.0848184	-0.0413492	-0.0000000	2.0000000
17	313	143	2.122377	2.260298	-0.0908179	-0.0572924	-0.0000000	4.0000000
18	314	133	2.112377	2.260298	-0.0968174	-0.0732355	-0.0000000	3.0000000
19	315	129	2.101967	2.260298	-0.1028169	-0.0891787	-0.0000000	1.0000000
20	316	122	2.086550	2.260298	-0.1188164	-0.1051219	-0.0000000	0.0000000
21	317	134	2.066049	2.260298	-0.1248159	-0.1210651	-0.0000000	0.0000000
22	318	131	2.045531	2.260298	-0.1308153	-0.1369083	-0.0000000	0.0000000
23		357	4.458583			0.1967967	0.0046165	0.0033076

Sumber : Hasil Perhitungan

2. Menentukan Jenis Distribusi

Untuk menentukan jenis distribusi, acuan yang digunakan standar 10 parameter statistic yang dikenalkan di table, nilai koefisien kepemiripan (C_s), koefisien kurtosis (C_k) dan koefisien variasi (C_v) masing-masing jenis distribusi

dicocokkan dengan hasil perhitungan sehingga didapatkan hasil jenis distribusi mana yang sesuai. Hasil uji parameter statistic diperlihatkan pada tabel berikut.

Dari tabel tersebut dapat disimpulkan bahwa jenis distribusi yang dapat digunakan adalah distribusi metode log person type III.

Tabel 4. Uji parameter statistik

Jenis distribusi/scharus	Syarat	Hasil perhitungan	Kesimpulan
Normal	$Cv = 0$ $Ck = 1$	$Cv = 0.285$ $Ck = 1.219$	Tidak memenuhi
Gumbel	$Cv \leq 1.96$ $Ck \leq 3.400$	$Cv = 0.185$ $Ck = 3.219$	Tidak memenuhi
Log normal	$Cv - Cv \leq 0.35$ $Ck - Cv \leq 0.4$ $16Cv^2 \leq 1$	$Cv = 0.100$ $Ck = 0.225$	Tidak memenuhi
Log person III	Metam	$Cv = 0.035$ $Ck = 0.219$	memenuhi

Sumber: Hasil Perhitungan

C. Analisa Jenis Distribusi

Berdasarkan hasil uji parameter statistic, jenis distribusi yang dapat digunakan yaitu log person type III. Metode perhitungan log person type III digunakan dengan menggunakan cara hitung tangan.

Perhitungan curah hujan rencana dithitung dengan menggunakan persamaan berikut, dengan konstanta log person type III (G) yang ditentukan berdasarkan nilai koefisien kependekan (C_s). Dari perhitungan dapat nilai $C_s = 0,185$. Perhitungan nilai konstanta G berdasarkan nilai C_s tersebut dilakukan dengan cara interpolasi. Hasil perhitungan nilai konstanta G dilihat di pada table berikut:

Tabel 5. Nilai G untuk $C_s = 0,185$

C_s	Waktu (dalam tahun)								
	2	3	5	10	20	50	100	200	500
0,2	0,008	0,006	1,301	0,018	2,155	2,472	2,765	2,930	
0,185	0,007	0,006	1,300	1,617	2,157	2,471	2,762	2,927	
0,1	0,007	0,006	1,297	1,765	2,157	2,470	2,761	2,926	

Berikut ini adalah contoh perhitungan perhitungan curah hujan rencana dengan periode ulang 2 dengan menggunakan metode Log person

$$\text{Log } X = \text{Log } X + G + S$$

$$= 2,2022 + -0,032 + 0,089$$

$$= 2,1994$$

$$X = 158,28917$$

Hasil perhitungan curah hujan rencana dengan metode Log person III untuk periode ulang 2 dan 5 . Ditunjukkan pada table berikut:

Tabel 6. Hasil perhitungan nilai X untuk setiap kala ulang (T) tahun

T	$\text{Log } X_T$	G	S_d	$\text{Log } X_T$	X_T
2	2,2022992	-0,032	0,089	2,1994512	158,28917
5	2,2022992	0,830	0,089	2,2761692	188,873

Sumber: Hasil Perhitungan

D. Analisa Intensitas Curah Hujan

Analisa intensitas curah hujan menggunakan rumus Mononobe karena data curah hujan yang didapatkan adalah data curah hujan harian. Rumus Mononobe ditunjukkan pada persamaan dengan data curah hujan optimum periode ulang dua, lima tahun yang diperoleh dari perhitungan tertentu $I_{opt} = 287.611 \text{ mm/jam}$, 343.204 mm/jam .

Contoh perhitungan untuk I_{opt} sementara dapat dilihat pada tabel berikut.

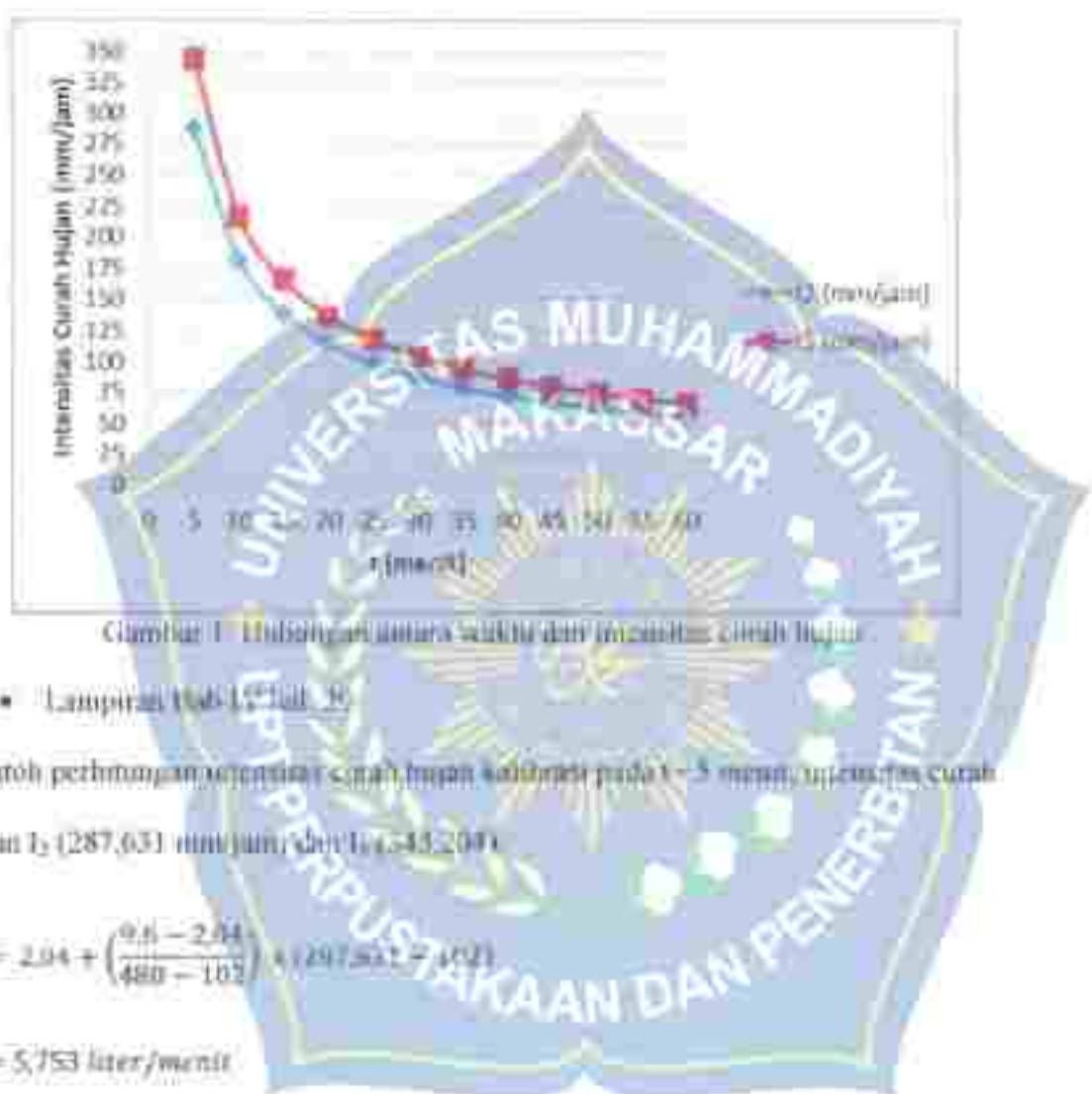
$$I_1 = \frac{154.28}{24} \left(\frac{24}{15} \right)^2 = 287.611 \text{ mm/jam}$$

$$I_2 = \frac{154.28}{24} \left(\frac{24}{15} \right)^3 = 343.204 \text{ mm/jam}$$

Tabel 7. Rekapitulasi hasil perhitungan intensitas curah hujan metode Mononobe

No	Waktu (mentah)	17	15
		24 jam	48 jam
1	5	287.3064553	343.2044858
2	10	382.16148714	416.2032749
3	15	438.2783206	464.9752048
4	20	414.1962406	436.2097910
5	25	398.39625254	417.2342841
6	30	377.10988875	403.9468573
7	35	358.66248312	397.7895098
8	40	33.90762883	85.80112219
9	45	66.47728698	79.32186721
10	50	61.96811601	73.94116564
11	55	38.15311995	69.38908636
12	60	54.87579124	65.47851107

Sumber : hasil perhitungan



Gambar 1. Hubungan antara waktu dan intensitas curah hujan.

- Lampiran Bab I, Tabel 36

Contoh perhitungan menggunakan resapan tanah sebesar pada $t = 5$ menit, merupakan curah hujan $I_2 = 287,631 \text{ mm/jam} / \text{detik} = 5,452,094 \text{ liter/menit}$

$$I_2 = 2,94 + \left(\frac{9,6 - 2,94}{480 - 102} \right) \times (297,631 - 102)$$

$$I_2 = 5,753 \text{ liter/menit}$$

$$I_2 = 2,94 + \left(\frac{9,6 - 2,94}{480 - 102} \right) \times (343,204 - 102)$$

$$I_2 = 6,864 \text{ liter/menit}$$

LAMPIRAN D: KLASIFIKASI TANAH

Dari hasil pengamatan sampel tanah pada laboratorium Teknik Pengairan Universitas Muhammadiyah Makassar, diperlukan hasil klasifikasi tanah AASHTO tipe A-2-6. Berikut ini ditunjukkan penentuan klasifikasi AASHTO untuk tipe A-2-6. Hasil pengujian di laboratorium diperoleh data batas plastis (Pl.) = 29,47%, batas cair (Cc) = 40,10%.

Klasifikasi Umum	Material Berbutir Kasa (35% max kurang lepas saringan No. 200)										Material Lantai-Lenggang Bahan dan >5% lepas di saringan No. 200)
	A-1		A-2		A-3		A-4		A-5		
Klasifikasi Group	A-1	A-2	A-2	A-2	A-3	A-3	A-4	A-4	A-4	A-5	A-5
Analisa Tapis peresa Intra											
No. 10	38	-	-	-	-	-	-	-	-	-	-
No. 40	37	-	-	-	-	-	-	-	-	-	-
No. 200	37	28	18	31	25	19	25	30	38	36	34
Karakteristik fraksi lepas saringan No. 40											
Batas Cair			41	42	43	47	53	51	55	55	41
Indeks Plastisitas	6 mm	N.P.	10 mm	19 mm	11 mm	11 mm	18 mm	19 mm	11 mm	11 mm	11 mm
Jenis Material Polos	Fragmen batu kerikil dan pasir	Pasir halus	Kekerasan Batu Pasir (Skala Penetrasi mm) Lantai-Lenggang						Terasik keras	Terasik lenggang	
Tingkat Kegemukan sebagi Subgrade	Sangat baik hingga baik						Cukup baik hingga buruk				

Indeks Plastisitas untuk kelas group A-2-6 sama dengan batas kurang batu halus max saringan 20. Indeks Plastisitas untuk kelas A-1-6 tidak berasa batu halus max saringan 30.

Sumber: Harry Chrostady Hardoyatmo, 2012

Dalam sistem ini, tanah diklasifikasikan ke dalam ke dalam 7 (tujuh) kelompok besar, yaitu, A-1 sampai dengan A-7.

Klasifikasi sistem ini didasarkan atas kriteria-kriteria sebagai berikut:

1. Ukuran Batu

Batuan melalui ayakan No. 200 sebesar 4,8%, sehingga termasuk dalam material granuler (<3% lolos saringan no. 200).

2. Plastitas

Berlempung jika batuan tanah mengalami indeks plastitas <10. Hasil indeks plastitas dalam penelitian ini didapat dari batu campak = 49,16%, batu plastis (PL) = 29,47%, sedangkan indeks plastitas DL = 40,10% = 29,47% <10,69%.

Scabek diinterpretasi sebagai batu pasir, maka data hasilnya dicocokkan dengan angka-skor yang diberikan dalam tabel klasifikasi AASTHO dan kolom sebelah kiri ke kolom sebelah kanan hingga ditemukan angka-angka yang sama.

Pada tabel berikut diberikan tentang hasil penentuan klasifikasi batu.

Tabel 1. Hasil penksaan karakteristik tanah tanpa variasi vegetas)

No.	Uraian	Satuan	Nilai	Keterangan
A.	Kadar Air	%	33,68	-
B.	Batas-batas Atterberg	%	29,47	-
	1. Batas Cair (Liquid Limit,LL)	%	30,69	-
	2. Batas Plastis (Plastic Limit, PL)	%	12,43	-
	3. Indeks Plasticitas	%	-	-
	4. Batas Susut (Shrinkage Limit,SL)	%	-	-
C.	Distribusi Bahan	%	-	-
	1. Metode ASITTA	%	45,50	grup
	a) Fraksi besar	%	4,80	Klasifikasi
	b) Fraksi halus	%	-	A-25%
	2. Metode Gifford	%	45,30	-
	a) Fraksi besar	%	4,80	Kelompok
	b) Fraksi halus	%	2,71	SP
D.	Berat Jenis (Specific Gravity,Gs)	-	-	-
E.	Kompaksa	-	-	-
	1. Berat 100 Kecil Optimum	g/cm ³	2,27	Lengkung
	2. Kadar Air Optimum	%	47,10	Aerodinik
F.	Koefisien Permeabilitas Sandaran	-	-	-
	1. Tanpa dipadatkan	-	1,179x10 ⁻¹⁰	-
	2. Setelah dipadatkan	-	4,63x10 ⁻¹⁰	-
G.	Kepadatan (Sandstone Test)	-	0,745	-

Sumber: Hasil Pengukuran Laboratorium

Tabel 2. Klasifikasi tanah tanpa vegetasi

Sampel	Sistem Klasifikasi AASHTO	Sistem klasifikasi Unified
1	Termasuk dalam group Klasifikasi A-2-6. Tipe material secara umum adalah kerikil berlapis atau berlempung dan pasir dengan kondisi sebagai tanah dasar baik sampai dengan sangat baik.	a. Tanah berbutir kasar b. 4,8% lolos saringan no.200, ditakutkan oleh kurva distribusi butiran: $D_1 = 0,08932$ $D_2 = 0,2283$ $D_3 = 0,425$ $D_4 = 7,1458$ $CC = 0,9647$ b. Sifat-sifat tanah: Sifat-sifat tanah berlapis kerikil, sebagian besar tidak mengandung kontanahan.

Sumber : Hasil Pemantauan Laboratorium

Dari hasil pengujian sampel tanah untuk tanpa vegetasi analisis pada laboratorium Teknik Pekerjaan Universitas Muhammadiyah Makassar, didapatkan hasil klasifikasi tanah AASHTO tipe A-2-6. Berdasarkan dilakukan pemantauan klasifikasi AASHTO untuk tipe A-2-6. Hasil pengujian di Laboratorium diperoleh data butir plastis (PB) 8,2053%, butir tanah (LL) = 57,39%.

Dalam sistem ini tanah diklasifikasikan ke dalam ke dalam 7 (tujuh) kelompok besar, yaitu A-1 sampai dengan A-7.

Klasifikasi sistem ini didasarkan atas kriteria-kriteria sebagai berikut:

3. Uksiran Butir

Butiran melalui saringan No. 200 sebesar 5,8%, sehingga termasuk dalam material granuler (<3% lolos saringan no. 200)

4. Plasticitas

Berlanau jika batuan tanah mempunyai indeks plasticitas >10. Hasil indeks plasticitas dalam penelitian ini di dapat dari batas cair (L.L) = 37,39%, batas plastis (PL) = 23,33%, sehingga indeks plasticitasnya PL = $37,39\% - 23,33\% = 14,06\%$.

Pada tabel berikut dianalisa tentang hasil pemirksaan karakteristik tanah.

Tabel 3. Hasil pemirksaan karakteristik tanah dengan metode laboratorium

No.	Uraian	Satuan	Hasil	Keterangan
A.	Kadar Air	%	31,05	
B.	Batas-Batas Atterberg			
1.	Batas Cair (Liquid Limit,LL)	%	37,39	
2.	Batas Plastis (Plastic Limit, PL)	%	23,33	
3.	Indeks Plasticitas	%	14,06	
4.	Batas Susut (Shrinkage Limit,SL)	%		
C.	Distribusi Batuan			
1.	Metode AASHTO			
a)	Fraksi Kuras	%	2,20	0,040
b)	Fraksi halus	%	7,90	Klimatisasi A
2.	Metode United			2-6
a)	Fraksi kuras	%	24,29	
b)	Fraksi halus	%	3,90	Kelompok
D.	Berat Jenis(Specific Gravity,GS)		2,712	SP
E.	Kompaksi			
1.	Berat Isi Kering Optimum	gt/cm ³	2,27	Kerikil
2.	Kadar Air Optimum		43,90	berlanau
F.	Koefisien Permeabilitas Standar	%		
1.	Tanpa dipadatkan		$2,684 \times 10^{-4}$	
2.	Setelah dipadatkan		$4,80 \times 10^{-3}$	
G.	Kepakuan (Sondecone Test)	%	63,85	

Sumber: Hasil Pengontrol Laboratorium

Tabel 4. Klasifikasi tanah variasi mangga

Sampel	Sistem Klasifikasi AASHTO	Sistem klasifikasi Unified
I	Termasuk dalam group Klasifikasi A-2-6. Tipe material secara umum adalah kerikil berlantai atau berlempung dan pasir dengan kondisi sebagian tanah dasar baik sampai dengan sampai batik.	c. Tanah berbutir kasar d. 5,0% loles saringan no 200, dilakukan uji kurva distribusi butiran. $D_{10} = 0,07430$ $D_{30} = 0,3062$ $D_{50} = 0,119$ $GD = 5,4276$ $CC = 0,6440$ e. Bergradien: Baik f. Sifat kolinergik AP positif g. Batas berlantai pasir berlikus sedikit atau tidak mengandung butiran halus

Sumber : Hand Promotional Faberporous

Dari hasil pengujian sampel tanah pada laboratorium Teknik Pengamatan Universitas Muhammadiyah Makassar, didapatkan hasil klasifikasi tanah AASHTO tipe A-2-6. Hendaknya diterangkan penentuan klasifikasi AASHTO untuk tipe A-2-6 hasil pengujian di laboratorium didefinisikan batas plastis (PL) = 28,61%, batas cair (L.L.) = 37,76%.

Klasifikasi sistem ini didasarkan atas kriteria-kriteria sebagai berikut:

5. Ukuran Butir

Butiran melalui saringan No. 200 sebesar 8,3%, sehingga termasuk dalam material granuler (<35% loles saringan no 200)

6. Plastisitas

Berlempung, jika butiran tanah mempunyai indeks plastisitas <10. Hasil indeks plastis dalam penelitian ini didapat dari batas cair (L.L.) = 37,76%, batas plastis (PL) = 28,61%, sehingga indeks plastisitasnya, PL = 37,76% - 28,61% = 9,15%.

Pada tabel berikut disajikan tentang hasil pemeriksaan karakteristik tanah.

Tabel 4. Hasil periksa karakteristik tanah untuk variasi tanaman bambu

No	Uraian	Satuan	Nilai	Keterangan
A.	Kadar Air	%	49,74	-
B.	Batas-batas Atterberg			
1.	Batas Cat (Liquid Limit LL)	%	39,76	-
2.	Batas Plastis (Plastic Limit PL)	%	29,61	-
3.	Indeks Plastitas	%	9,15	-
4.	Batas Sosat (Shrinkage Limit SL)	%	-	Grup
C.	Diametru Butiran			
1.	Metode AASHTO			Klasifikasi A-2-4
a)	Frasa kasar	%	90,55	-
b)	Frasa halus	%	5,45	-
2.	Metode United			Kelompok
a)	Frasa kasar	%	60,00	SP
b)	Frasa halus	%	30,00	-
D.	Berat jenis (Specific gravity)	kg/cm ³	-	Kurikuler dan
E.	Komaksi			air / setirung
3.	Berat Isa Kering Optimum	kg/m ³	2,015	tan pasir
4.	Kadar Air Optimum	%	2,06	-
F.	Koefisien Permeabilitas Standar	%	-	-
3.	Tanpa dipadatkan	cm^3/s	$1,22 \times 10^{-2}$	-
4.	Setelah dipadatkan	cm^3/s	$4,98 \times 10^{-2}$	-
G.	Kepadatan (Sandcone Test)	kg/m ³	63,85	-

Sumber: Hasil Pengambilan Laboratorium

Tabel 6. Klasifikasi tanah variasi bambu

Sampel	Sistem Klasifikasi AASHTO	Sistem klasifikasi Unified
I	Termasuk dalam group Klasifikasi A-2-4. Tipe material secara umum adalah kerikil berlapis pasir dengan berlengkung dan pasir dengan kerikil sebagai tanah basah baik sifatnya dengan sifat baik.	c. Tanah berbutir kasar 4,8% lolos saringan no 200, dilakukan uji kurva distribusi butiran $D_{50} = 0,0457$ $D_{10} = 0,0290$ $D_{30} = 0,335$ $CU = 3,048$ $CC = 0,700$ e. Berzatiasa Basah f. Simbol Kelompok sil pasir granular Basah, pasir kerikil < 2,36 mm tidak mengandung butiran halus.

Sumber : Hasil Pengujianan Laboratorium

Dari hasil pengujianan Laboratorium Mekanika tanah, hasil yang telah di dapatkan kemudian dianalisis menggunakan Metode AASHTO dan di bawah ini adalah penggabungan hasil antara tanpa vegetasi, vegetasi mangga dan vegetasi bambu. Agar dapat memudahkan melihat perbandingan ketiganya.

Tabel 7 Gabungan klasifikasi tanah

No	Ujian	Satuan	Nilai TVcg	Nilai Vting	Nilai Vbm
A.	Kadar Air	%	35,68	31,05	49,74
B.	Batas-batas Atterberg				
5.	Batas Cair (Liquid Limit,LL)	%	20,47	37,39	37,76
6.	Batas Plastis (Plastic Limit, PL)	%	10,09	23,33	28,61
7.	Indeks Plasticitas	%	12,43	14,06	9,15
8.	Batas Susut (Shrinkage Limit,SL)	%			
C.	Distribusi Batuan				
1.	Metode AASHTO	%	0<20	94,20	90,0K
a)	Frasik pasir	%	4,80	3,90	5,0%
b)	Frasik batu	%	95,20	94,30	95,0%
2.	Metode Unified	%	2,80	3,90	5,0%
a)	Frasik pasir				
b)	Frasik batu				
E.	Berat Jenis / Specific Gravity(GS)	g/cm³	2,715	2,712	2,615
F.	Kompaksi		1,27	1,22	
5.	Berat Isi Kering Optimum	g/cm³	17,90	13,56	
6.	Kadar Air Optimum				
G.	Koefisien Penetrasi Standar	kg/cm²	1,178x10⁴	2,68x10⁴	1,53x10⁴
5.	Tanpa dipadatkan	kg/cm²	10 ⁻⁴	10 ⁻⁴	
6.	Setelah dipadatkan	kg/cm²	4,62x10 ⁻⁴	4,80x10 ⁻⁴	4,98x10 ⁻⁴
	Kepadatan (Sandcone Test)		10 ⁻⁴	10 ⁻⁴	
			63,85	63,85	63,85



DOKUMENTASI

Alat





Pengambilan sampel Tanah



Running pertama tanpa vegetasi

Running dengan menggunakan vegetasi bambu



Ruangan dengan menggunakan vegetasi maccap



Pengambilan data limpasan permukaan